

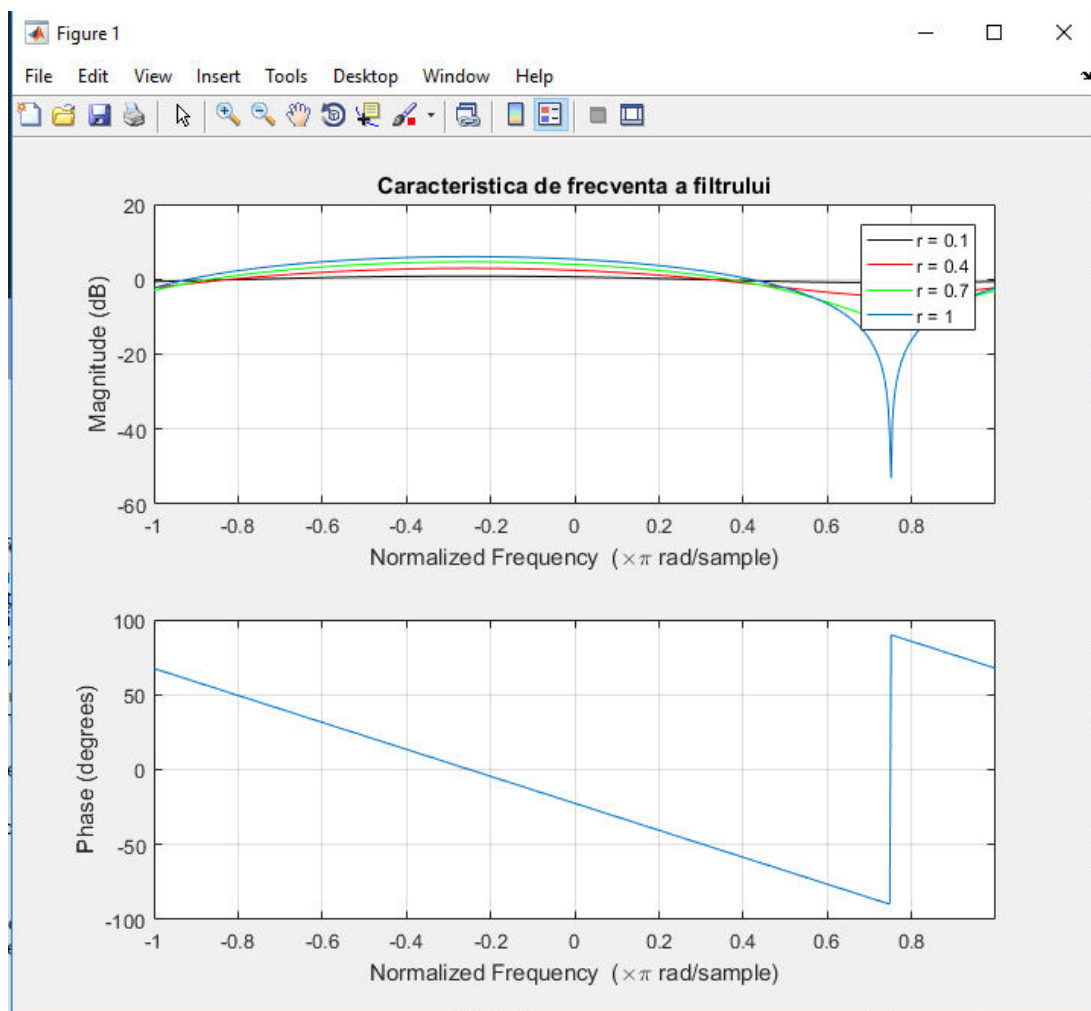
TEMA 1

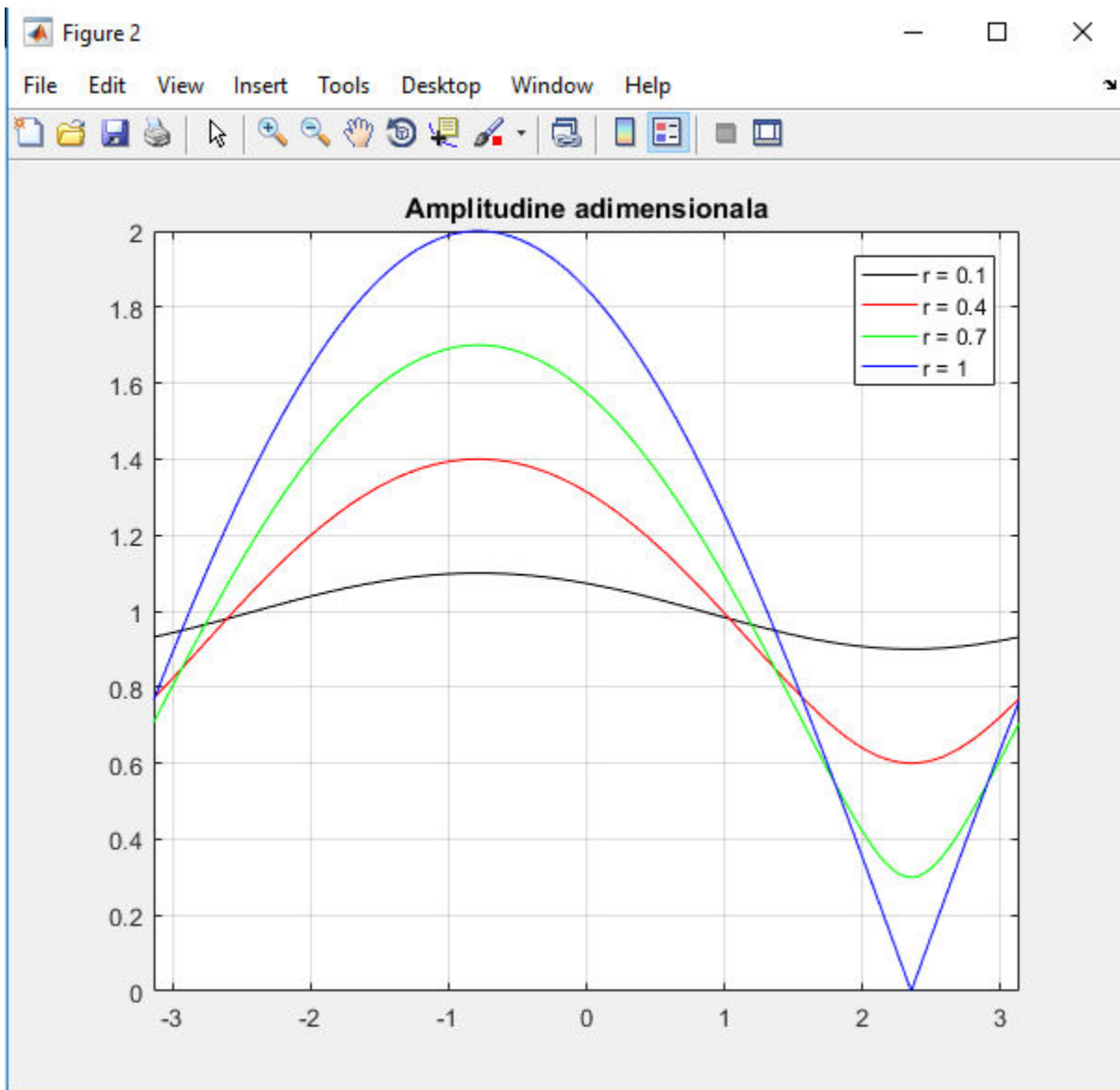
Subpunctul a

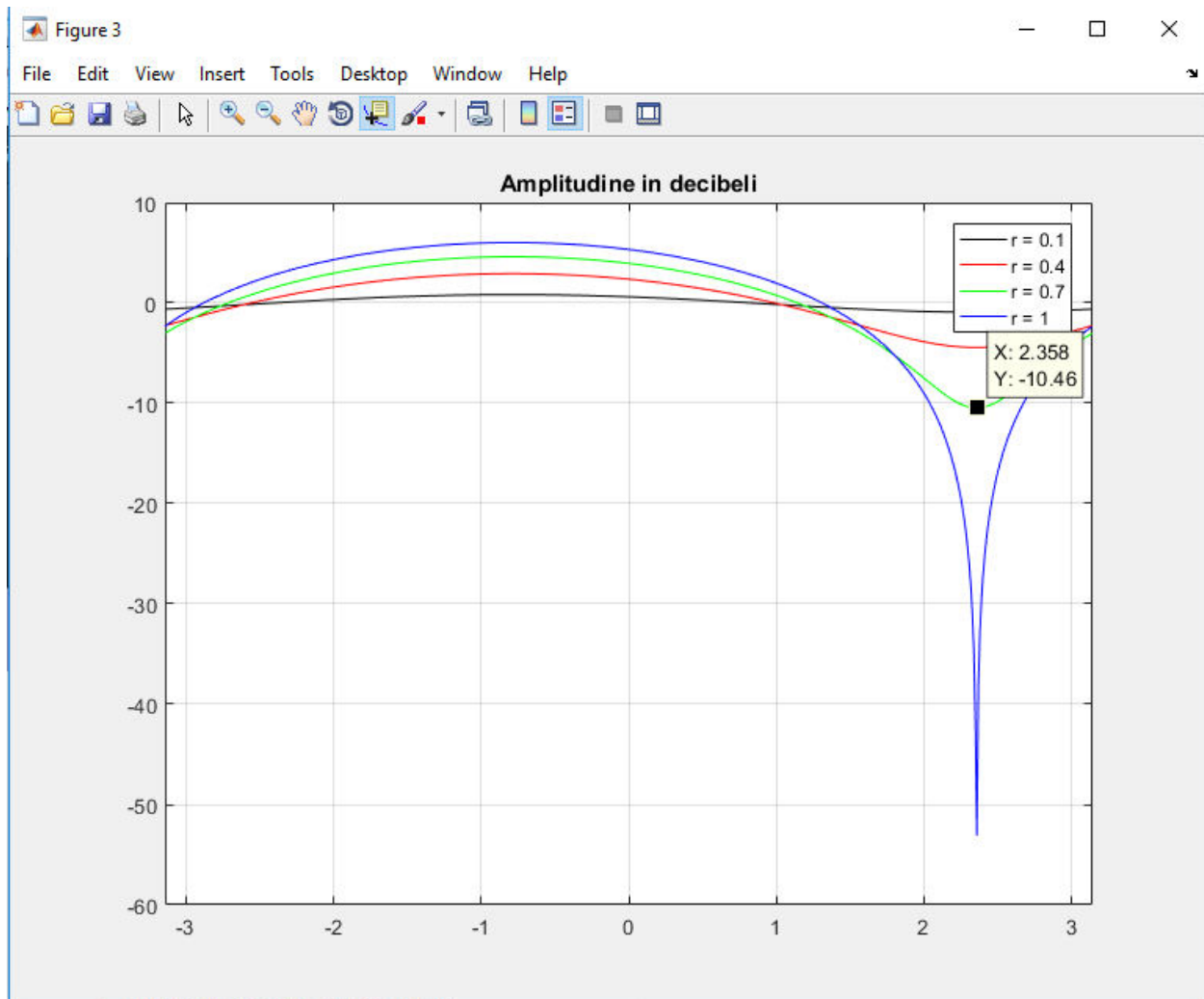
Coeficientii filtrului FIR cu functia de transfer (3.7) nu sunt reali, asadar proprietatile de simetrie ale TF nu se respecta (spectrul par, faza impara), graficul nu va mai fi simetric fata de axa verticala, asadar reprezentarea spectrului si a fazei pentru raspunsul in frecventa se va face pentru ω apartinand intervalului $[-\pi, \pi]$.

Valoarea variabilei r trebuie sa fie intre 0 si 1 deoarece r reprezinta amplitudinea zeroului (care este un numar complex). Cu cat ea se apropie mai mult de 1, cu atat zeroul se apropie mai mult de cercul unitate. Zerouri in afara cercului unitate sau analog, pentru sisteme continue, zerouri aflate in semiplanul drept, vor conduce la un sistem de faza non-minima.

Graficele obtinute la acest exercitiu prezinta amplitudinea raspunsului in dB, amplitudinea adimensionala, precum si caracteristica filtrului obtinuta cu functia freqz. Figurile de mai jos ilustreaza rezultatele obtinute. Am ales $\theta = (3\pi/4)$.







Introduc urmatoarele comentarii referitoare la rezultatele obtinute si la diferentele dintre ele:

$$|H(e^{j\omega})| = |1 - ke^{j(\theta - \omega)}| \quad \forall \omega \in \mathbb{R}$$

pt $\omega = \theta \Rightarrow |H(e^{j\omega})| = |1 - ke^0| = |1 - k|$

pt valorile alese

$$\begin{aligned} |1 - 0,1| &= 0,9 \\ |1 - 0,4| &= 0,6 \\ |1 - 0,7| &= 0,3 \\ |1 - 1| &= 0 \end{aligned}$$

$$\begin{aligned} 20 \log_{10} 0,9 &= -0,9 \\ 20 \log_{10} 0,6 &\approx -4 \\ 20 \log_{10} 0,3 &\approx -10 \\ 20 \log_{10} 0 &\rightarrow -\infty \end{aligned}$$

aceste valori se verifică
pe cea de-a doua figură
în $\omega = \theta = 3\pi/4$

aceste valori se
verifică în cea de-a
treia figură pt $\omega = \theta$

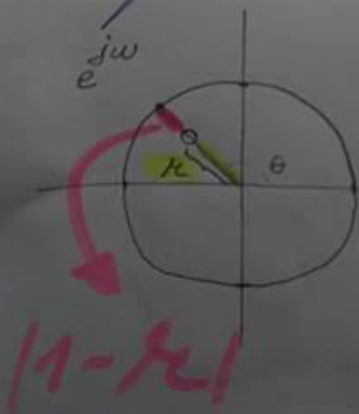
Diferența dintre prima figură și cea de-a
treia se reprezintă doar de pulsația (axa Ox),
care în cadrul caracteristicii de frecvență e
normalizată; Valorile din coloana a doua se
verifică așadar în $\omega = \frac{3\pi}{4} \cdot \frac{1}{\pi} = 0,75$

este firesc ca odată cu creșterea lui k
amplitudinea să scadă

unde $\omega = 3\pi/4$

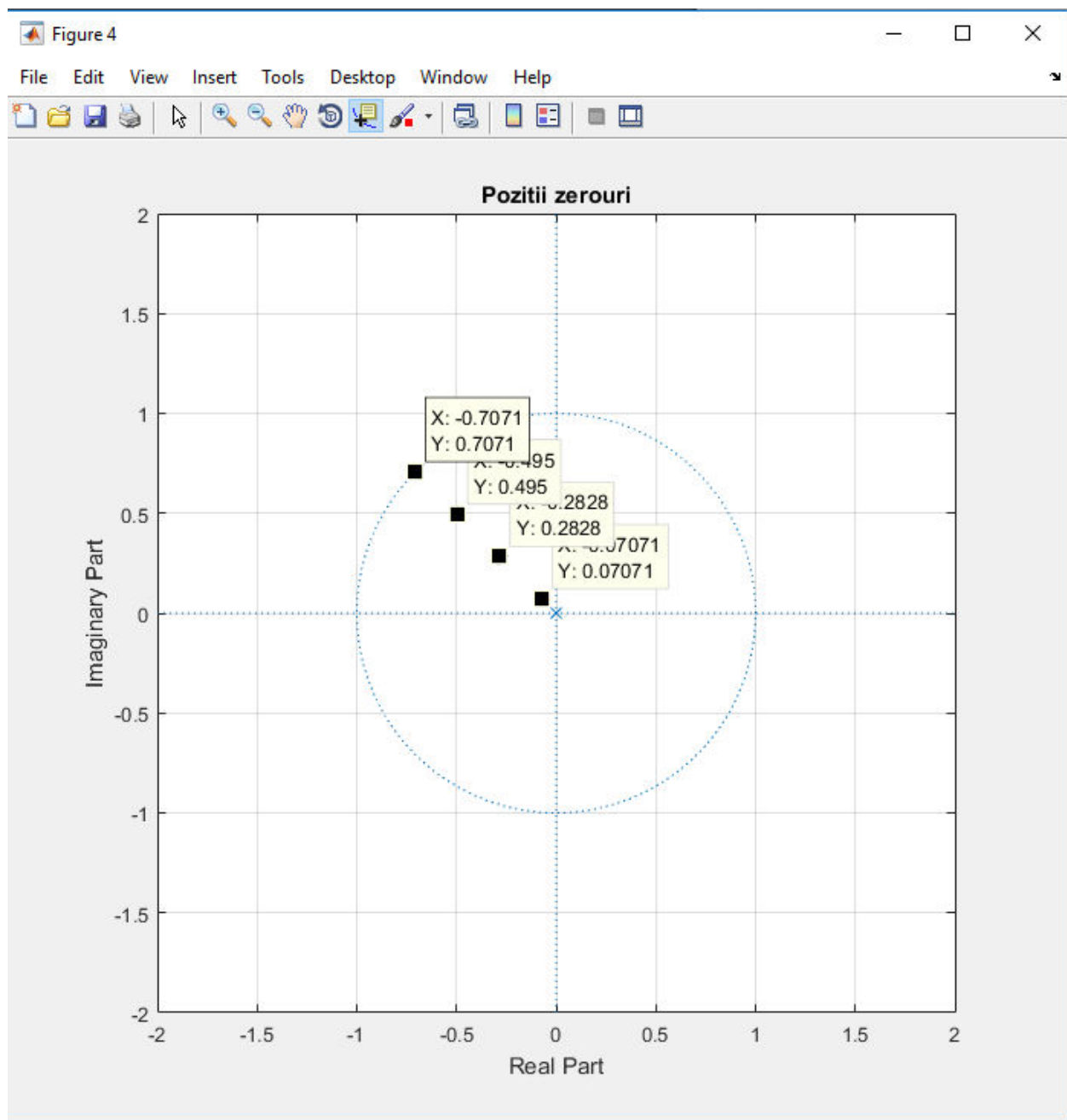
$|H(e^{j\omega})|$ cu $\omega = \theta$ e egal cu $|1 - k|$

Modulul va reprezenta așadar
distanța de la cercul unitate
(de rază 1) la zero $\Rightarrow k$ mare
echivalent cu distanță mică



$|1 - k|$

Pentru a verifica poziția zeroului, folosesc funcția zplane și obțin:



Am verificat rezultatele astfel:

$$\begin{aligned}\text{zero 1: } \kappa_1 e^{j\theta} &= 0,1 \left(\cos \frac{3\pi}{4} + j \sin \frac{3\pi}{4} \right) \\ &= 0,1(-0,7 + j \cdot 0,7) \\ &= -0,07 + j \cdot 0,07\end{aligned}$$

$$\begin{aligned}\text{zero 2: } \kappa_2 e^{j\theta} &= 0,4(-0,7 + j \cdot 0,7) \\ &= -0,28 + j \cdot 0,28\end{aligned}$$

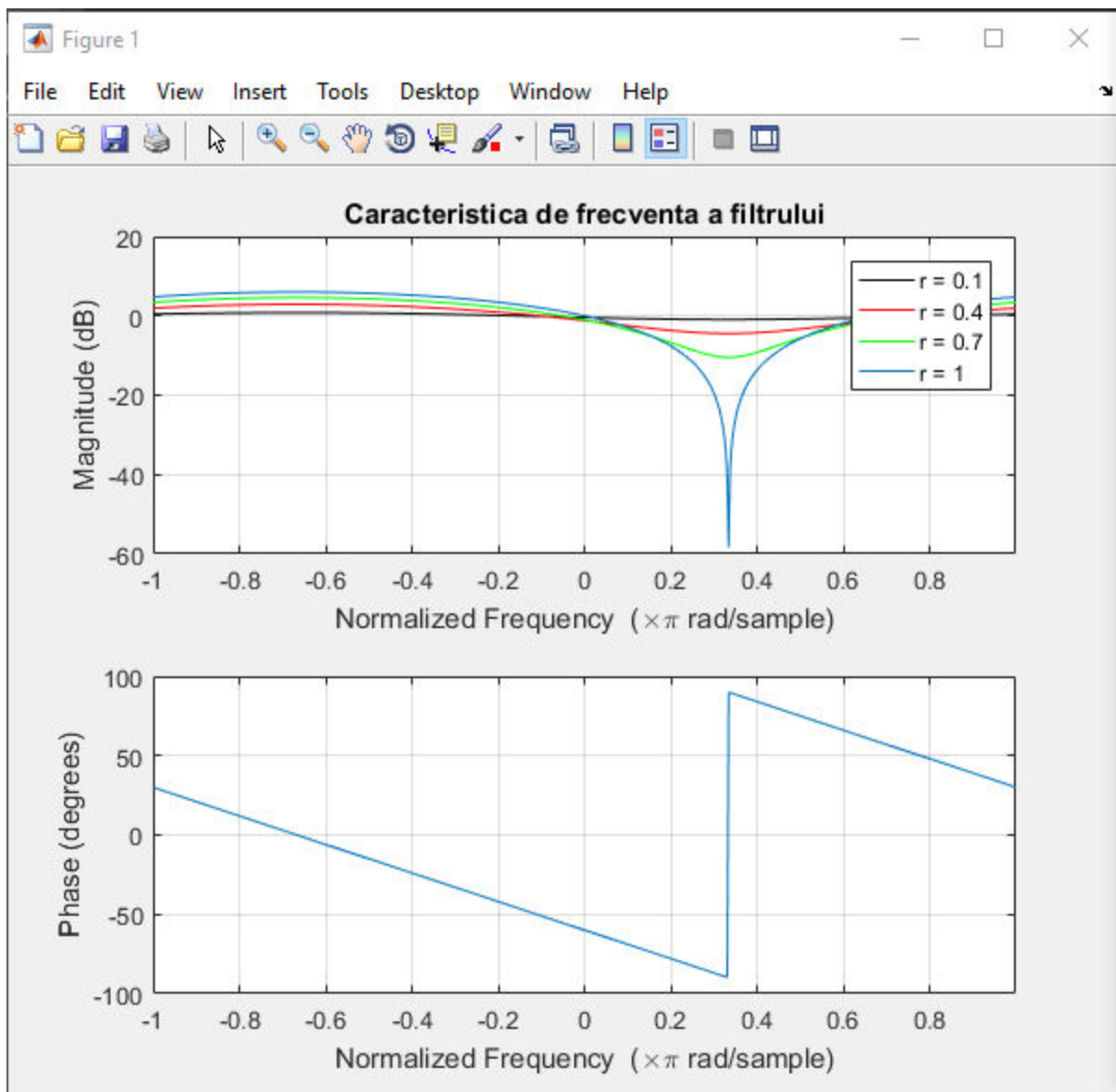
$$\begin{aligned}\text{zero 3: } \kappa_3 e^{j\theta} &= 0,7(-0,7 + j \cdot 0,7) \\ &= -0,49 + j \cdot 0,49\end{aligned}$$

$$\text{zero 4: } \kappa_4 e^{j\theta} = -0,7 + j \cdot 0,7$$

zerourile mele se vor afla așadar în $w = \theta$, la diferite distanțe de cercul unitate ($\kappa_1, \kappa_2, \kappa_3, \kappa_4$)

Subpunctul b

Pentru o altă valoare a lui teta, rezultatele vor fi identice, singura diferență este că acum atenuările se vor produce în $w =$ noua valoare a lui teta. Pozițiile zerourilor vor fi de asemenea diferite, acestea aflându-se pe raza cercului unitate ce face unghiul respectiv cu axa OX. Se obțin următoarele grafice: (am ales teta = $\pi/3$)



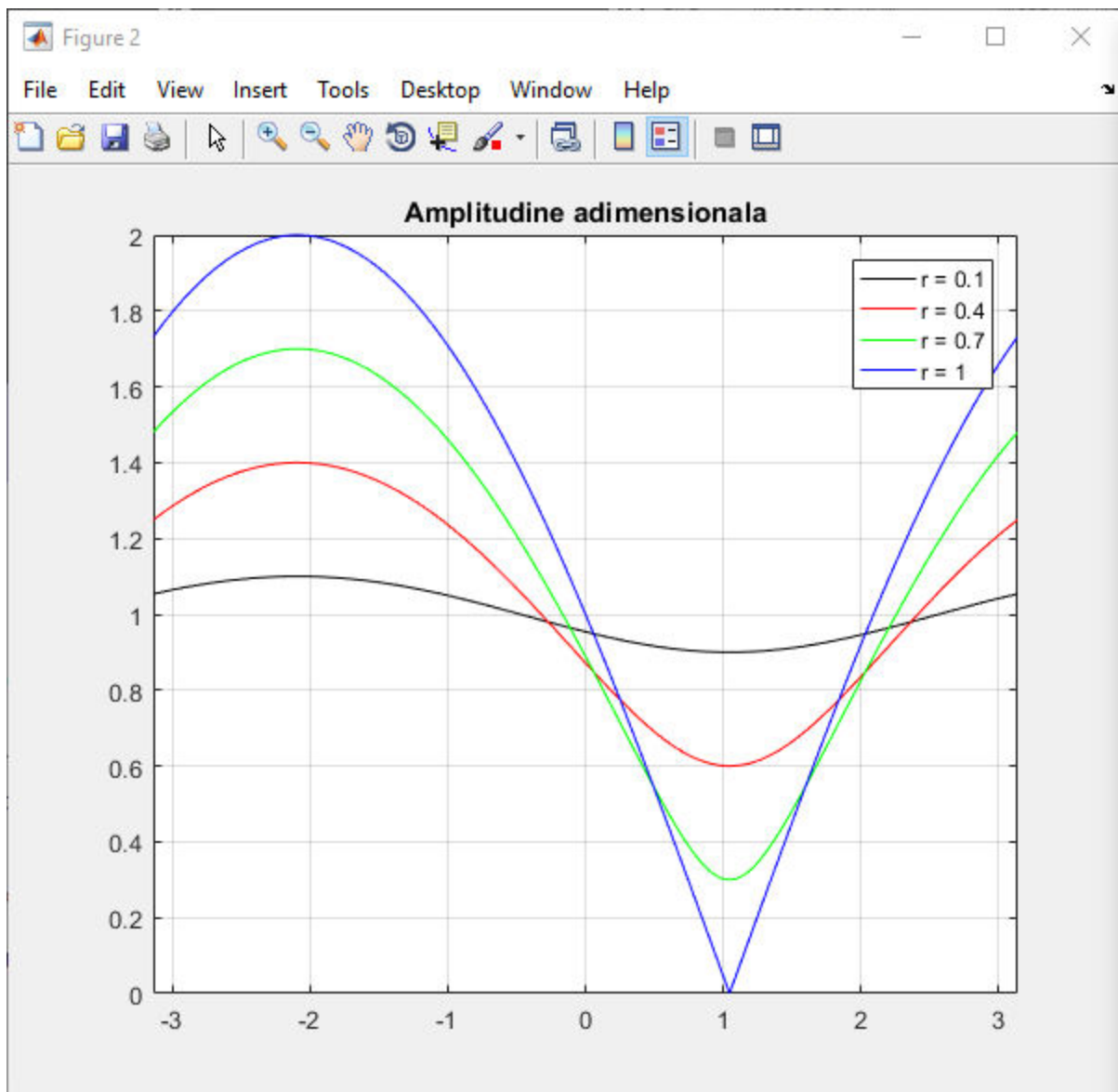
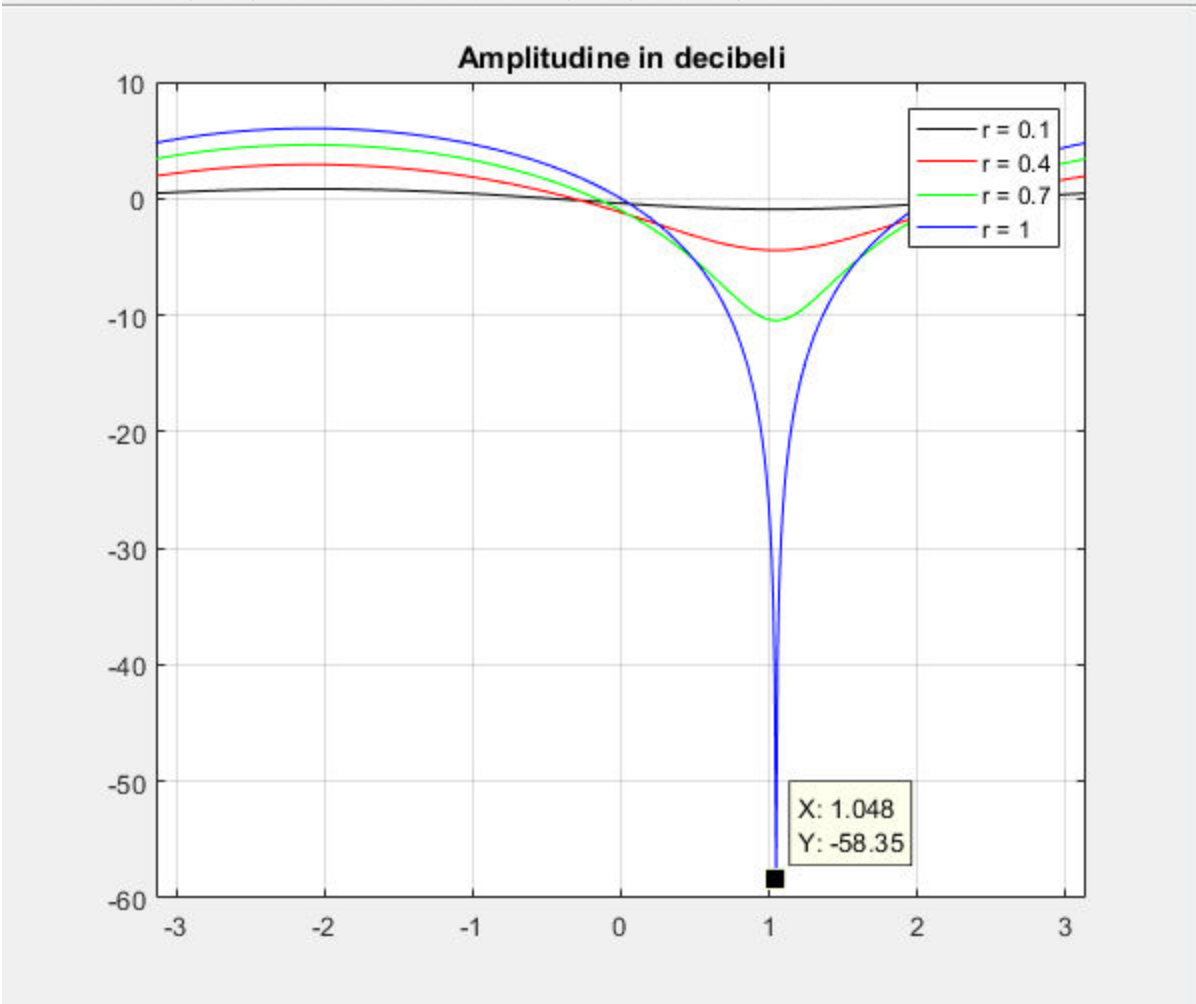
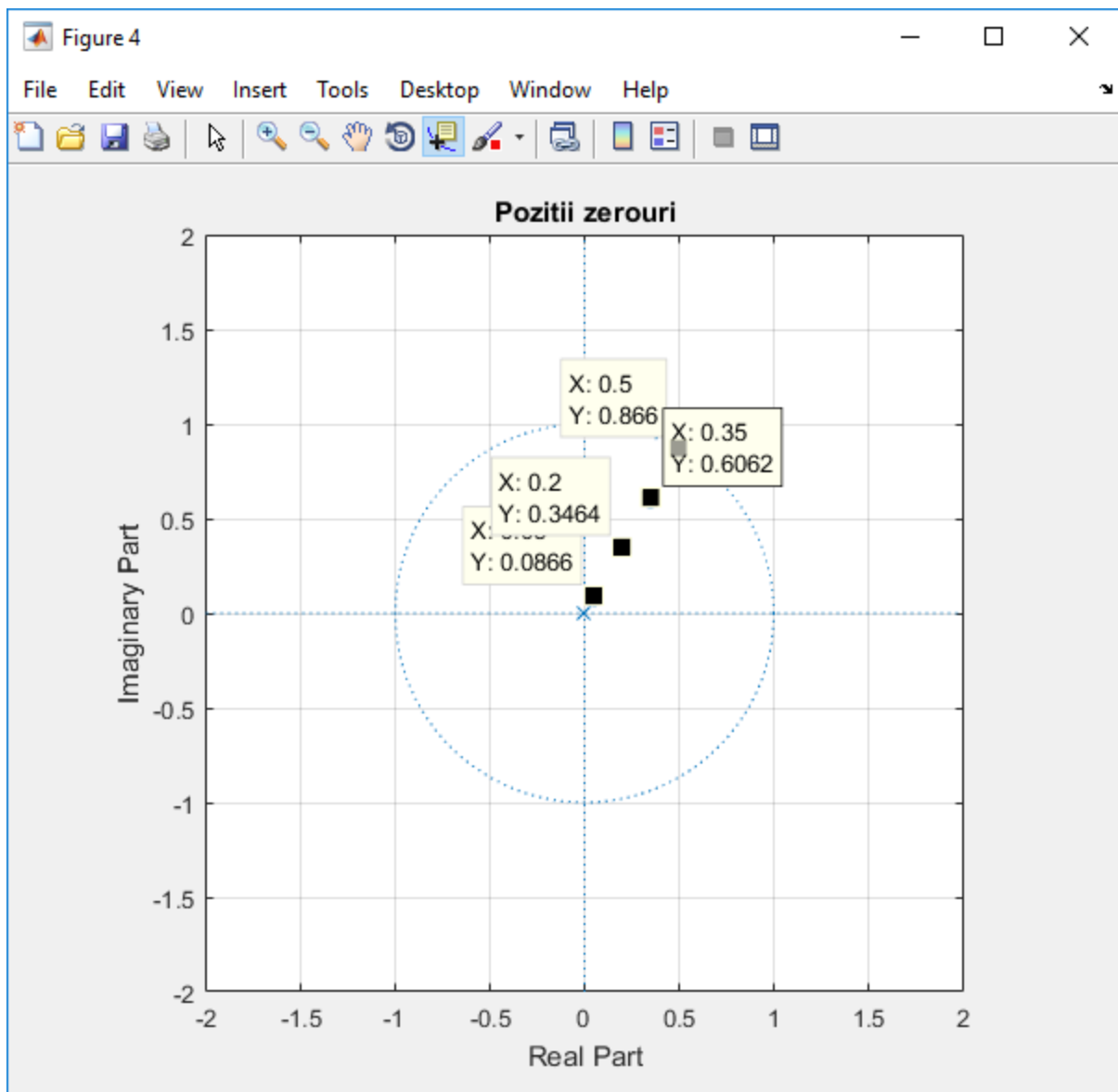


Figure 3

File Edit View Insert Tools Desktop Window Help





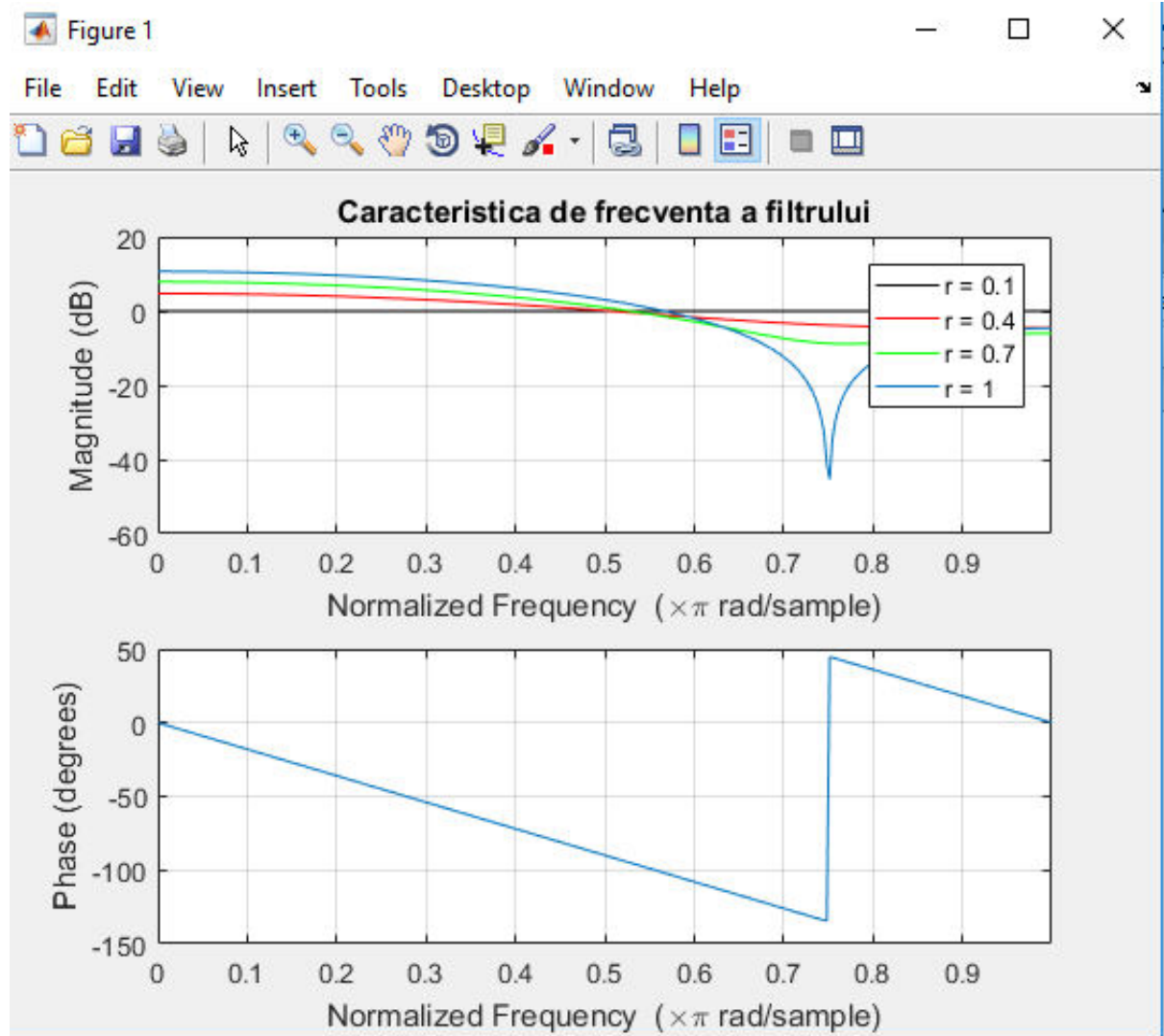
TEMA 2

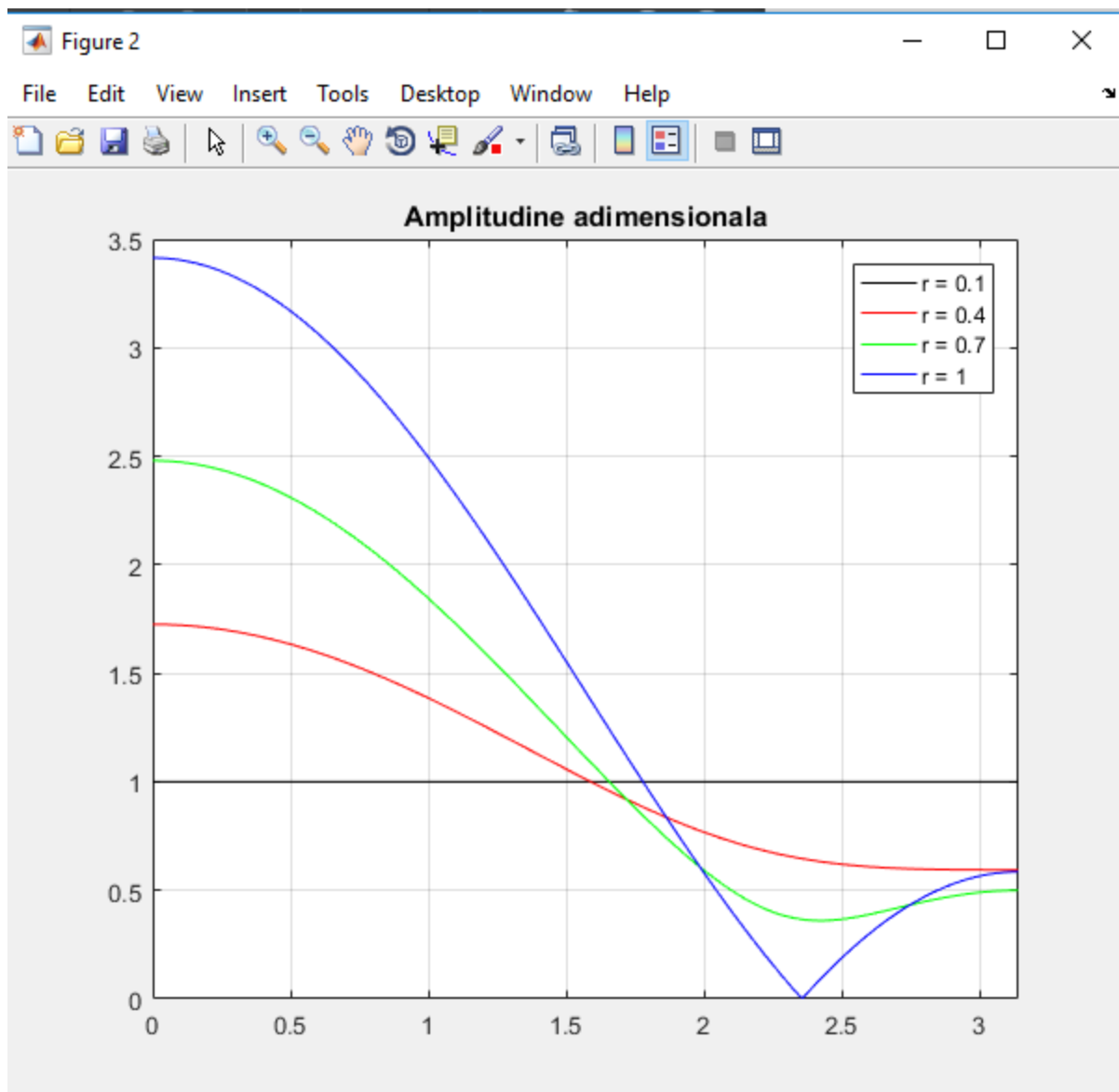
În cadrul temei 2, avem un filtru FIR de ordinul 2. Observațiile făcute în cadrul exercitiului 1 se aplică și în acest caz. Diferențele față de exercitiul 1 vor consta în:

- Filtrul de ordinul 2 are coeficienți reali, așadar graficul amplitudinii este simetric față de axa verticală; e suficientă reprezentarea pe intervalul $\omega \in [0; \pi]$;
- Diagrama zplane a zerourilor va conține perechi de zerouri dispuse simetric față de axa OX. (filtrele FIR de ordin 2 au zerouri complex conjugate)

- Cu cat ordinul filtrului creste, cu atat semnalele cu frecvente in interiorul acelei benzi (deoarece filtrul FIR este de tip stop banda), vor fi atenuate mai bine, mai abrupt.

Se obtin urmatoarele figuri, 4 pentru fiecare dintre cele doua cazuri: $\theta = (3\pi)/4$ si $\theta = \pi/3$;





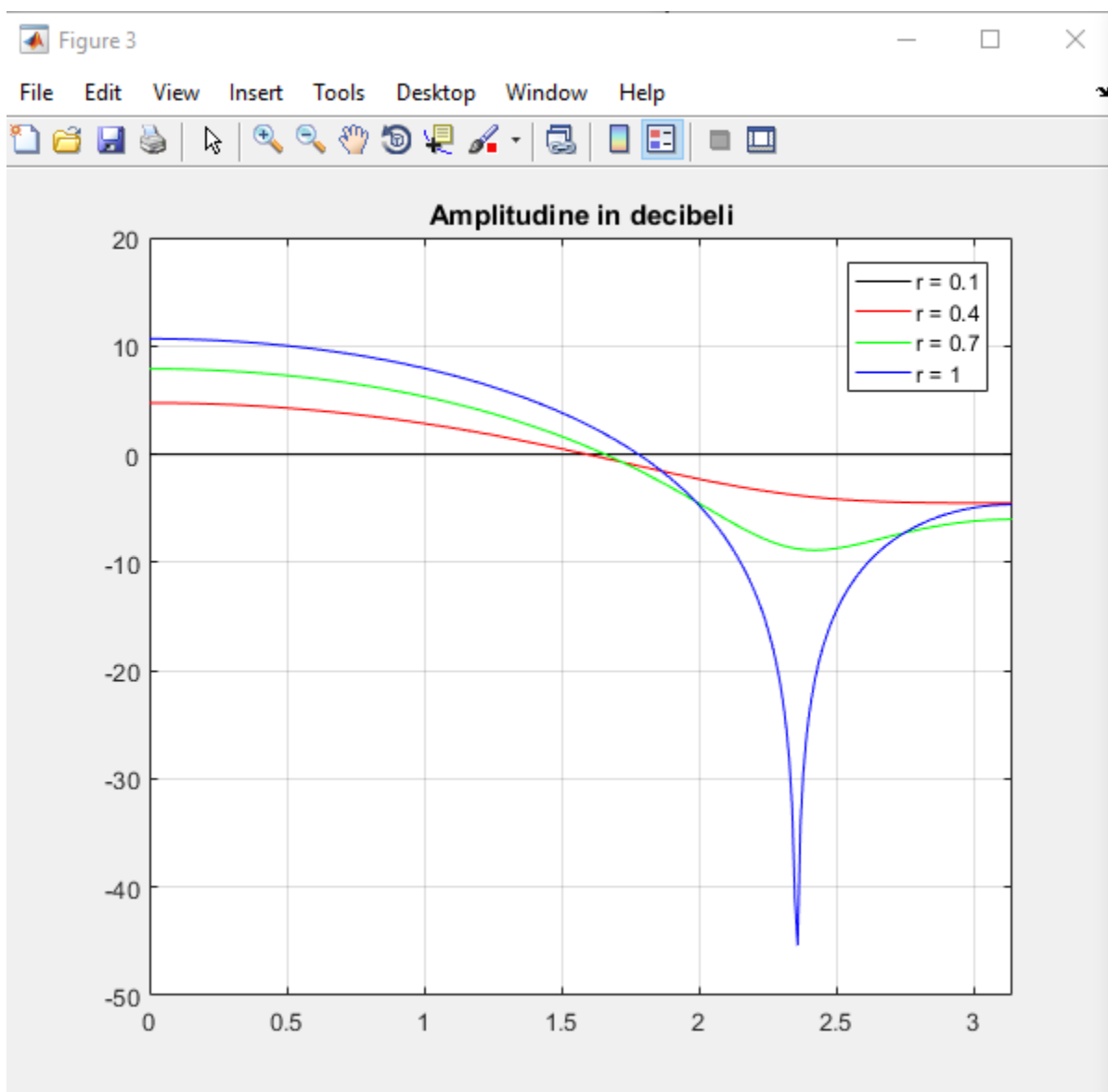
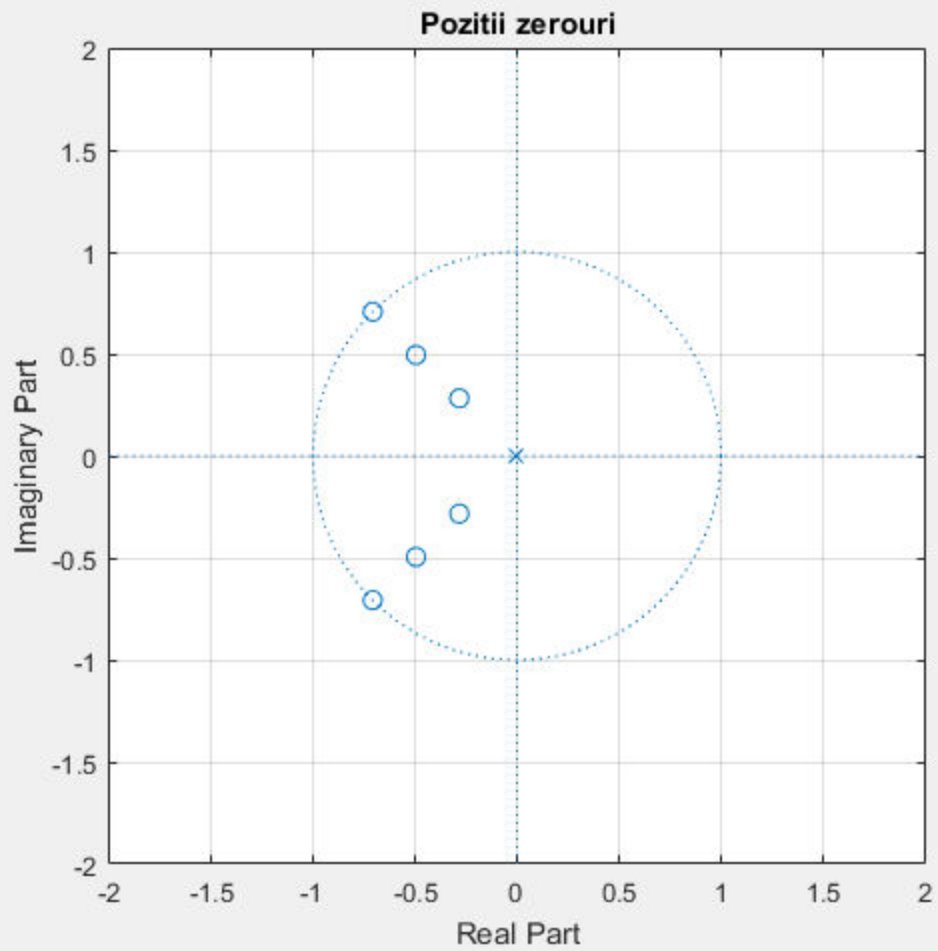
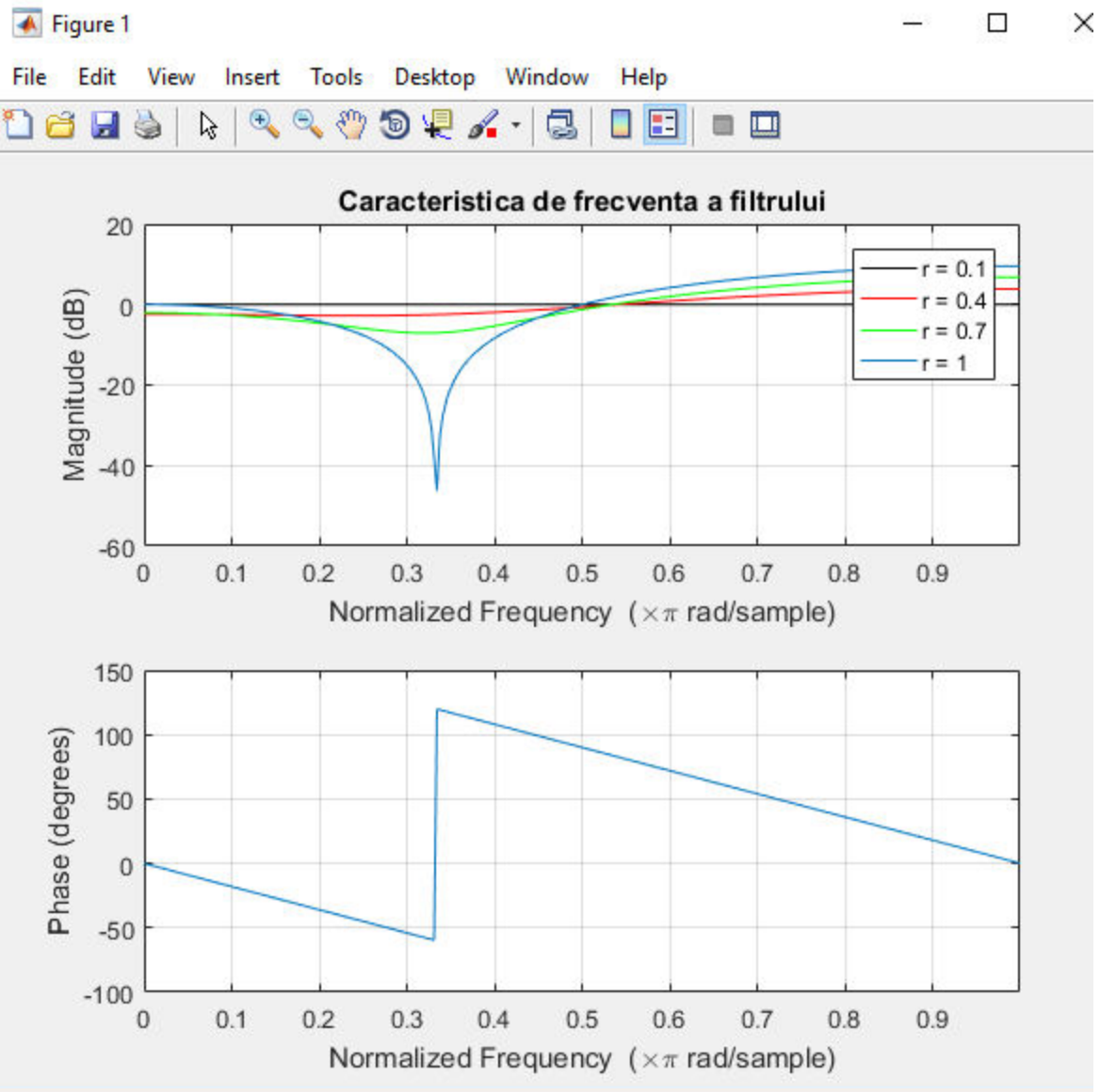
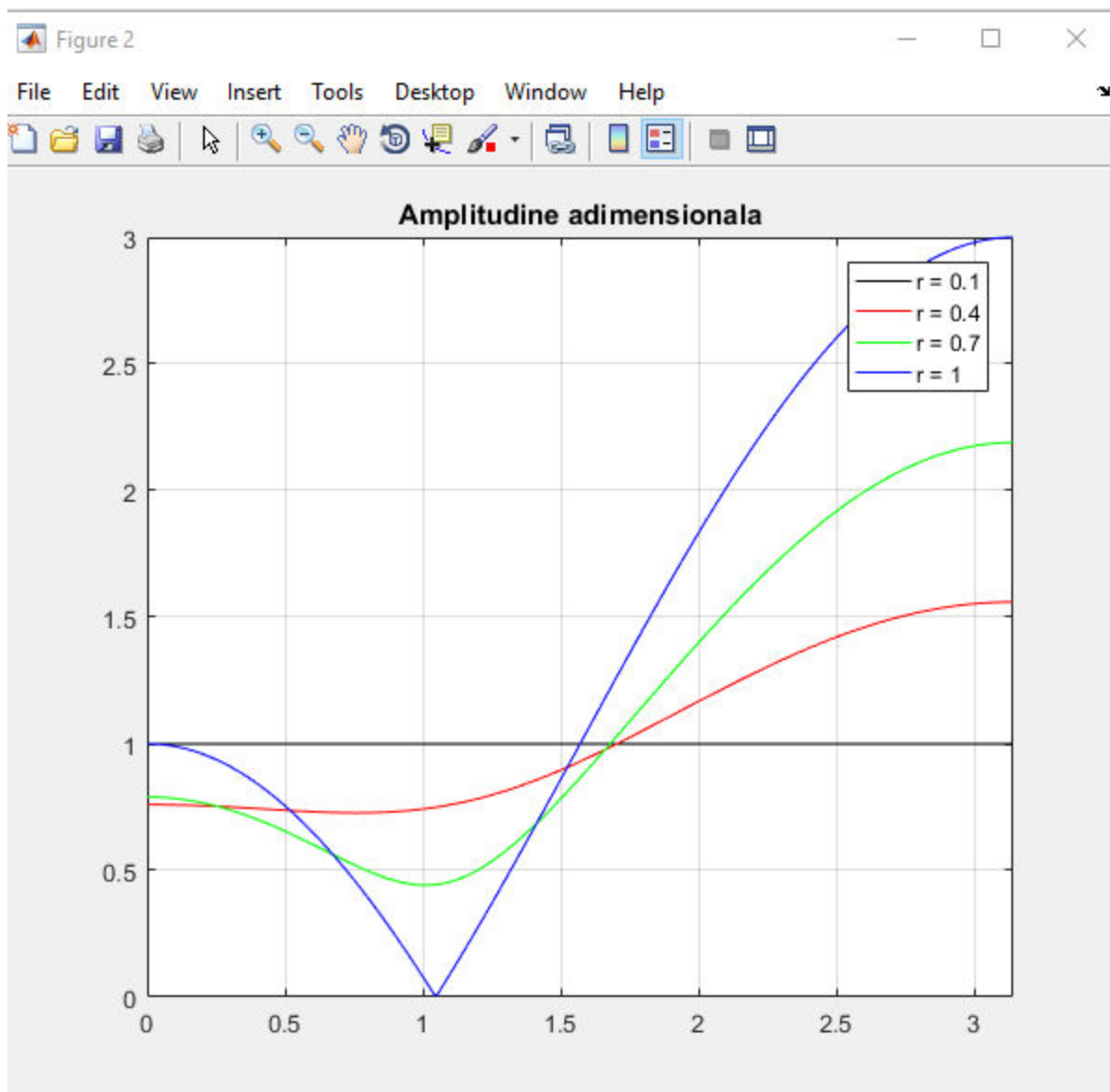


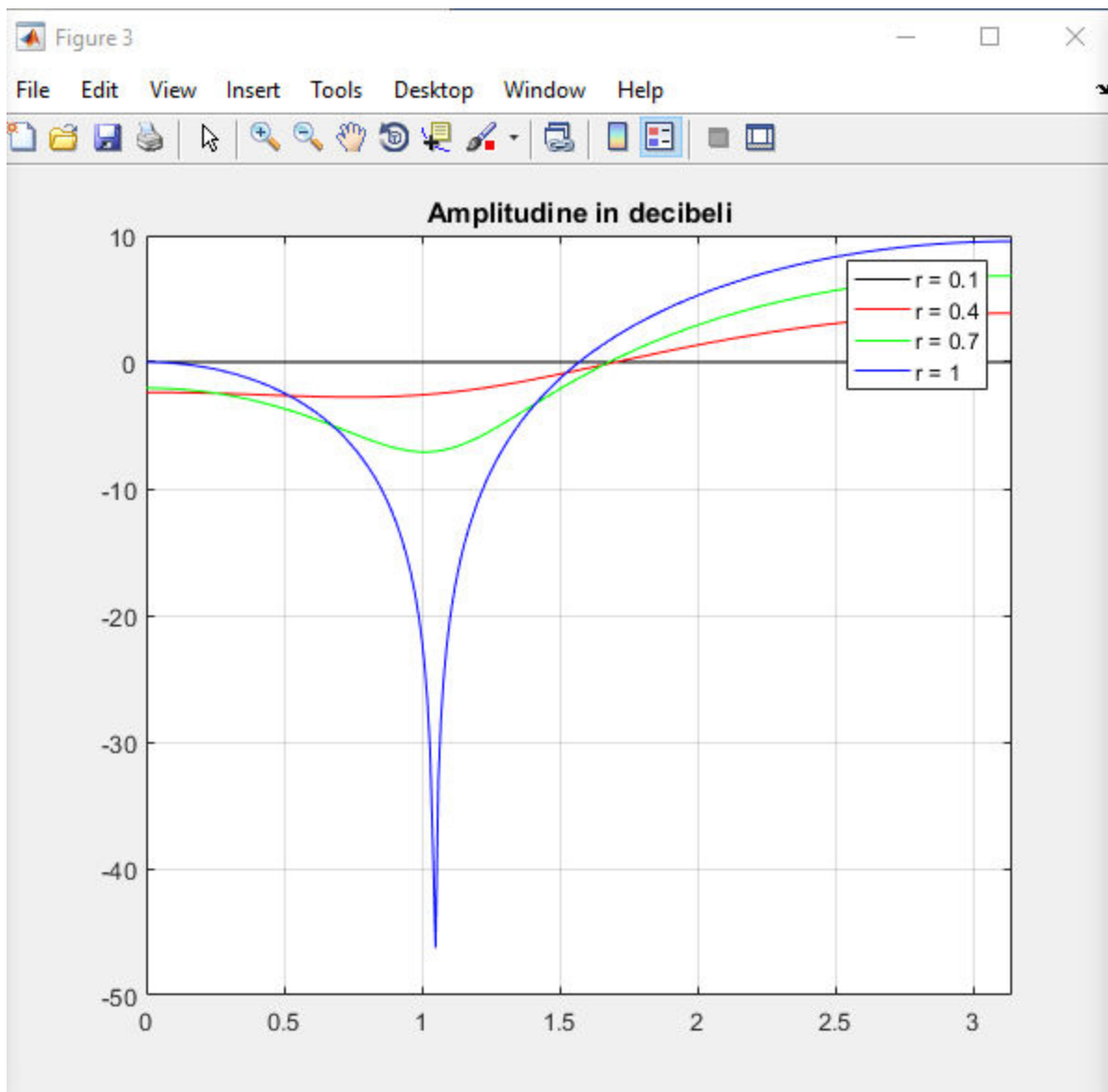
Figure 4

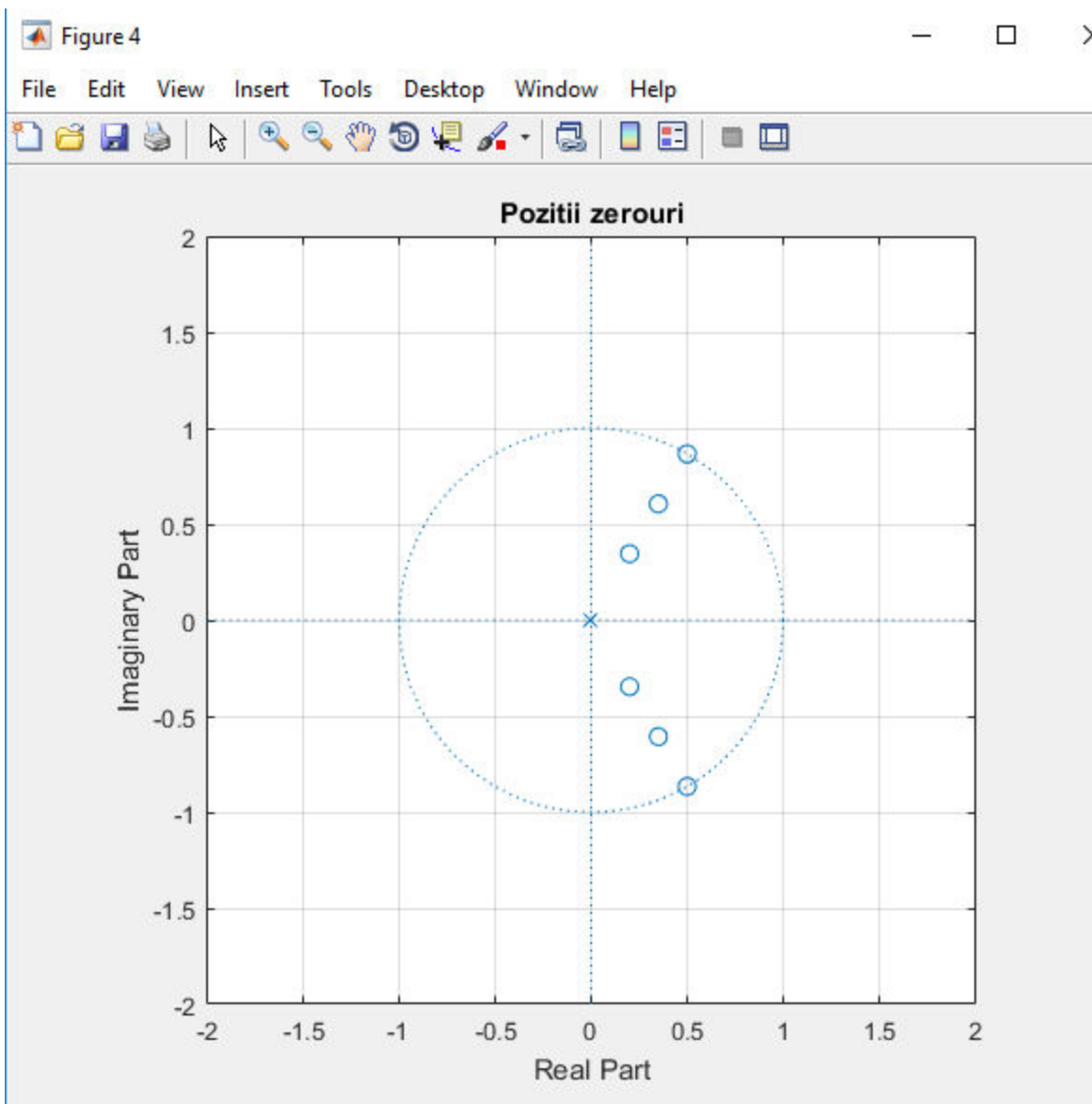
File Edit View Insert Tools Desktop Window Help











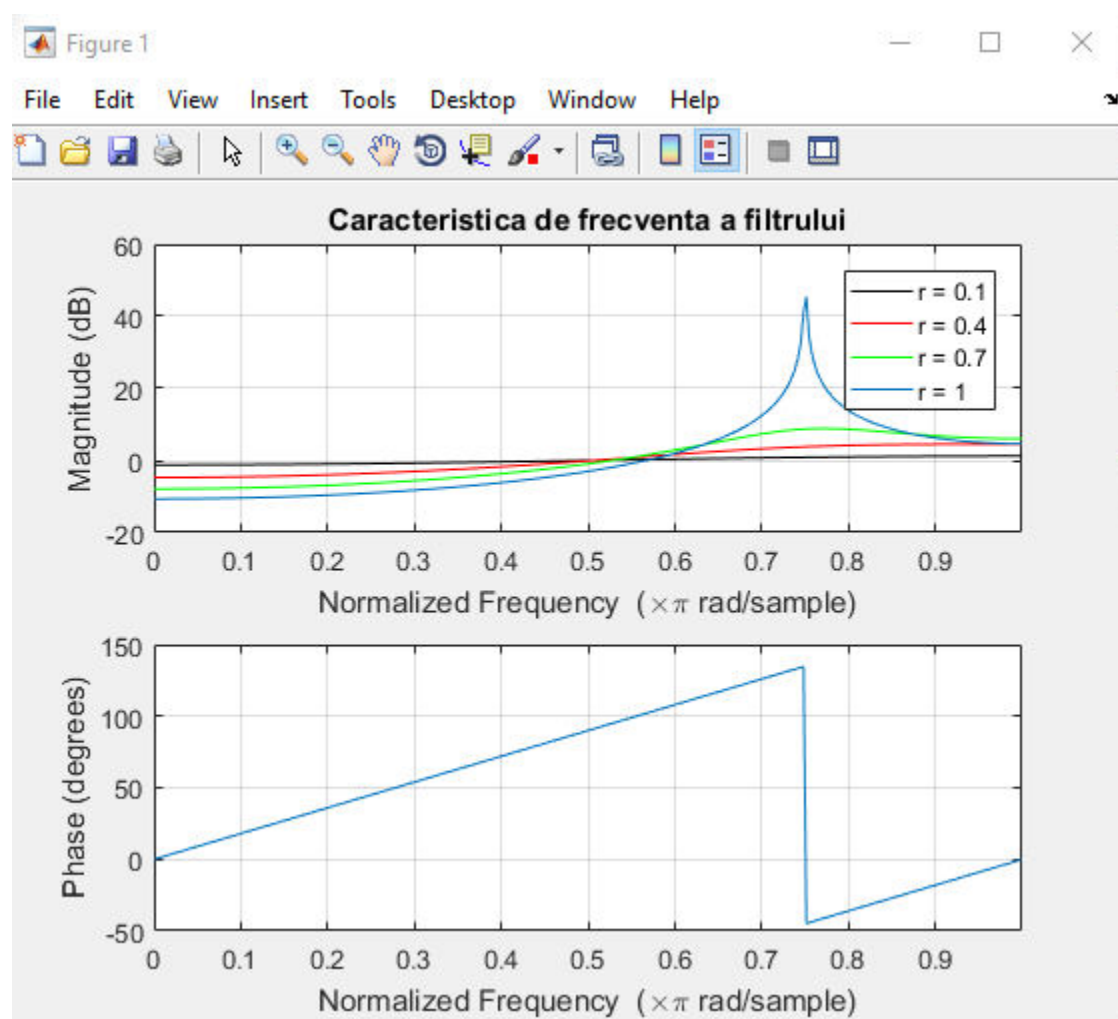
TEMA 3

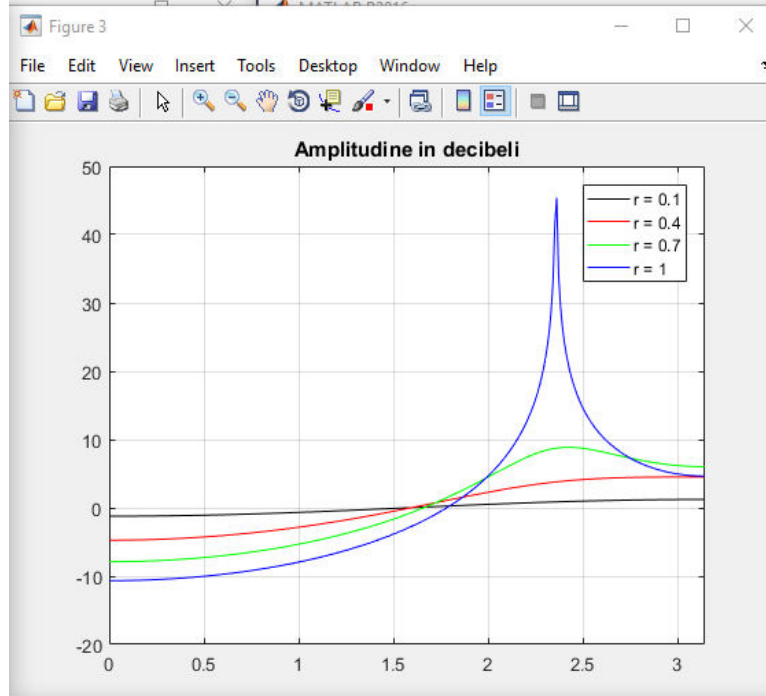
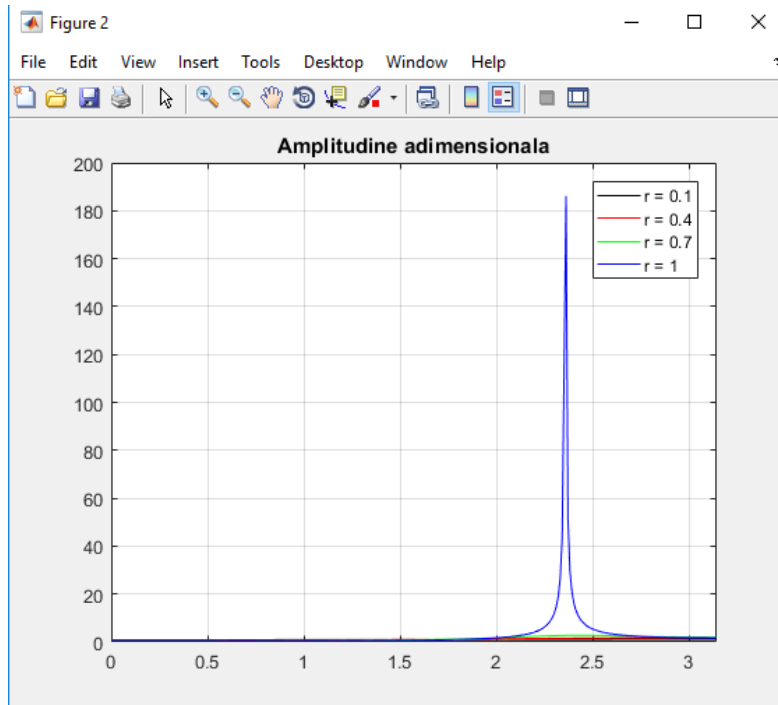
La acest exercitiu diferenta consta in oglindirea fata de abscisa a graficelor obtinute in cadrul filtrului de ordin 2.

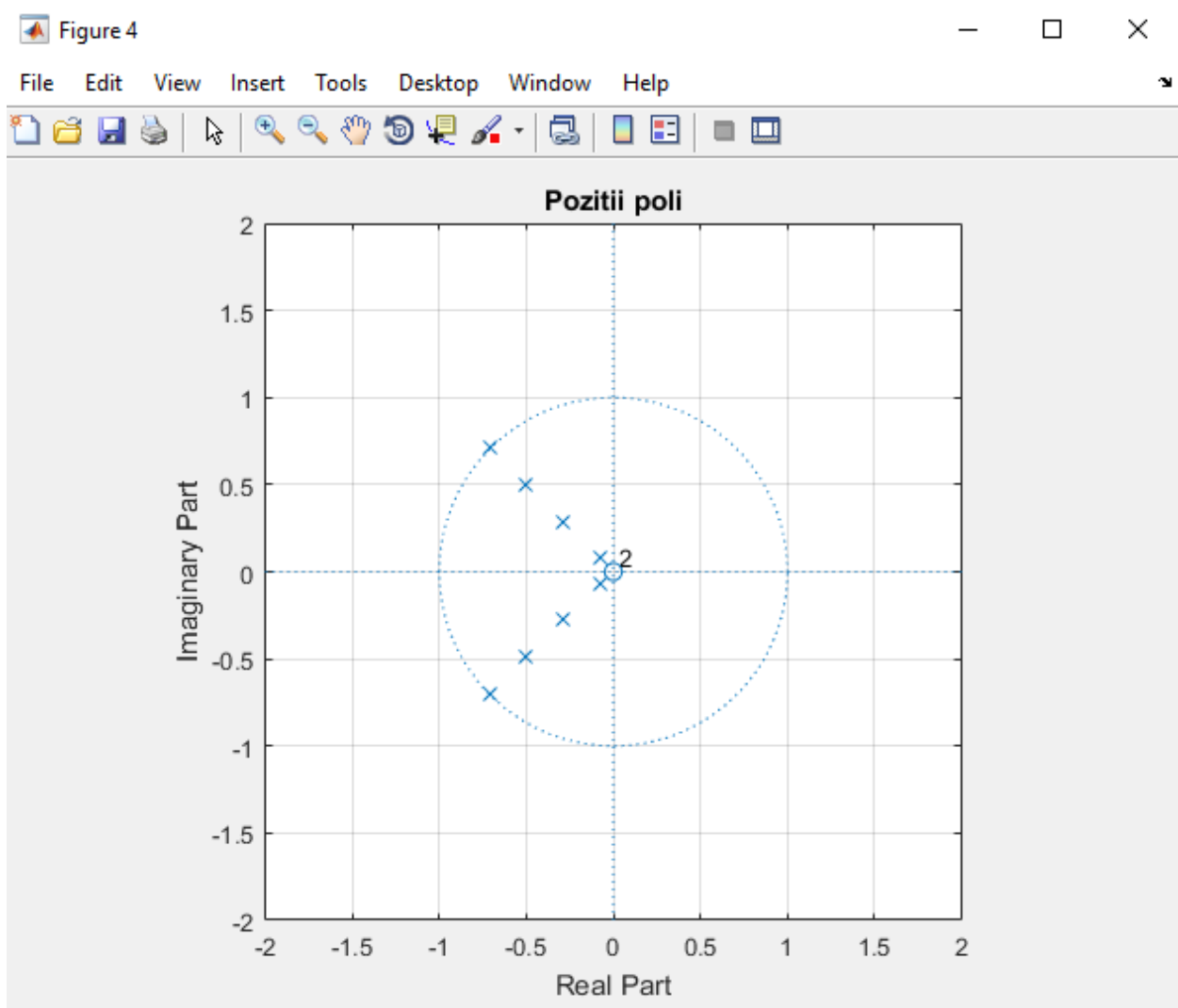
Filtrul are coeficienti reali, asadar este suficienta reprezentarea pe banda $[0, \pi]$.

Sistemul va avea 2 perechi de poli complex conjugati.

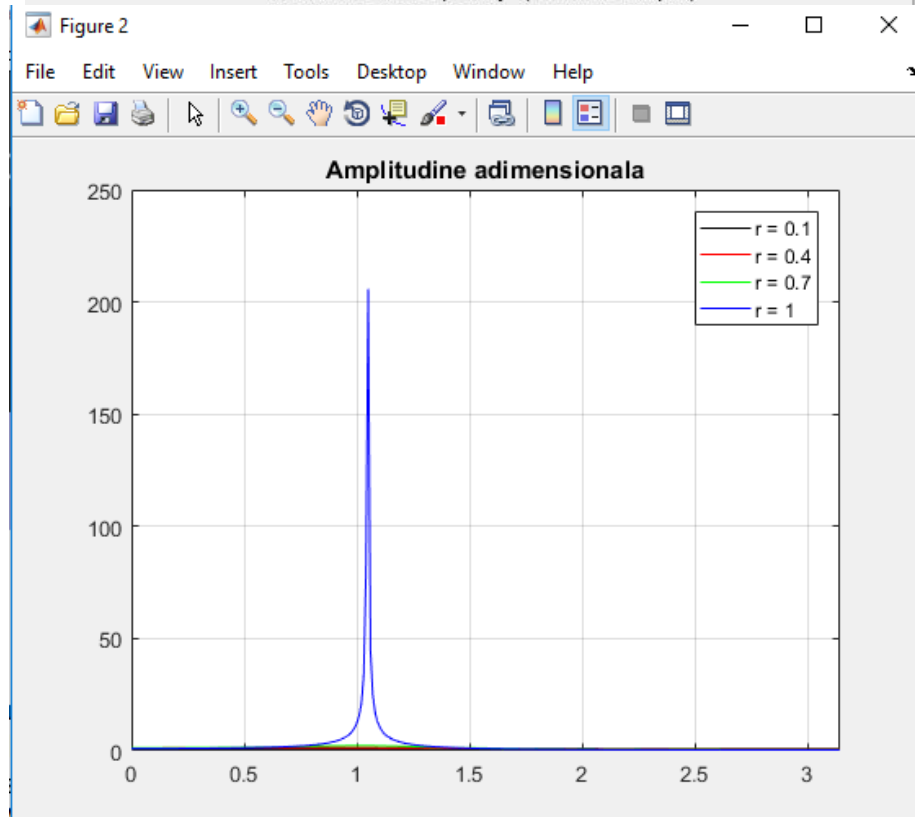
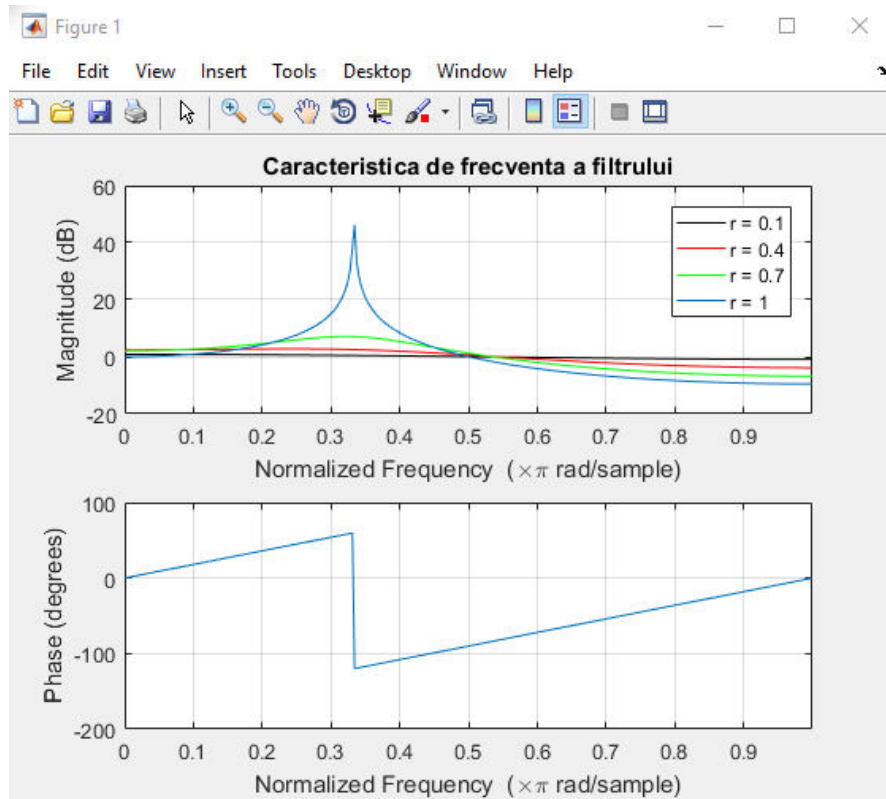
Graficele obtinute pentru $\theta = (3\pi)/4$ pentru filtrul autoregresiv, sunt ilustrare mai jos.

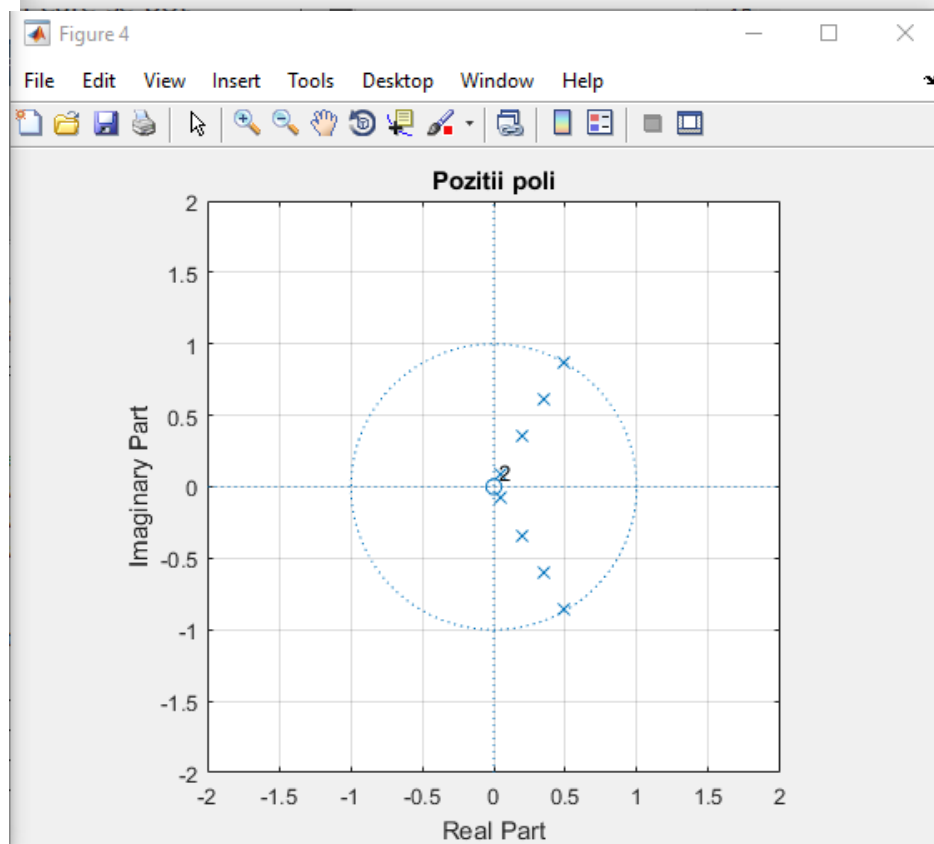
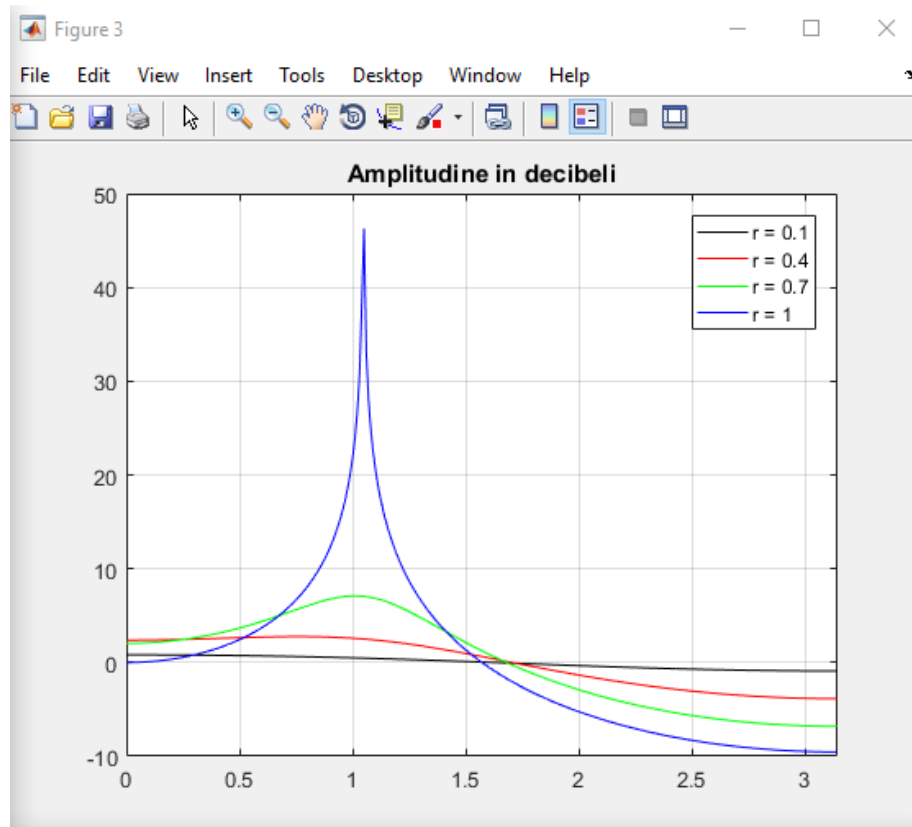






Pentru teta = $\pi/3$ se vor obtine:





Voi explica forma graficelor prin urmatoarele comentarii:

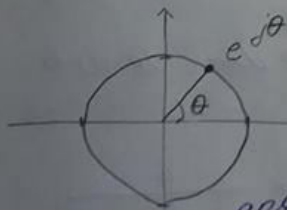
$$G(z) = \frac{1}{(1 - cz^{-1})(1 - \bar{c}z^{-1})} \rightarrow G(e^{j\omega}) = \frac{1}{(1 - ce^{-j\omega})(1 - \bar{c}e^{-j\omega})}$$

$$\Rightarrow |G(e^{j\omega})| = \frac{1}{|1 - ce^{-j\omega}| \cdot |1 - \bar{c}e^{-j\omega}|} = \frac{1}{|e^{-j\omega}| |e^{j\omega} - c| |e^{j\omega} - \bar{c}|}$$

$$\downarrow$$

$$\sqrt{\cos^2(\omega) + \sin^2(\omega)} = 1$$

$$\Rightarrow |G(e^{j\omega})| = \frac{1}{|e^{j\omega} - c| |e^{j\omega} - \bar{c}|} \quad \text{Pt } \omega = \theta \text{ avem:}$$



Analog discutiei din cadrul primului exercitiu, cele 2 module reprezintă distanțe de la cercul unitate la pozitiile polilor; cu cât ei sunt mai aproape de cercul unitate, cu atât distanțele sunt mai mici. Adică: r mare (mai aproape de cercul unitate) \Rightarrow distanțe mici (subunitare) $\Rightarrow \frac{1}{\text{mic}} = \text{val mare a modulului}$; r mic \Rightarrow distanțe mari (maxime 1) $\Rightarrow \frac{1}{\text{mare}} = \text{val mică pt } |G(e^{j\omega})|$

Pt un pol situat chiar pe cercul unitate $\frac{1}{0} \rightarrow \infty$
 \Rightarrow sistem instabil

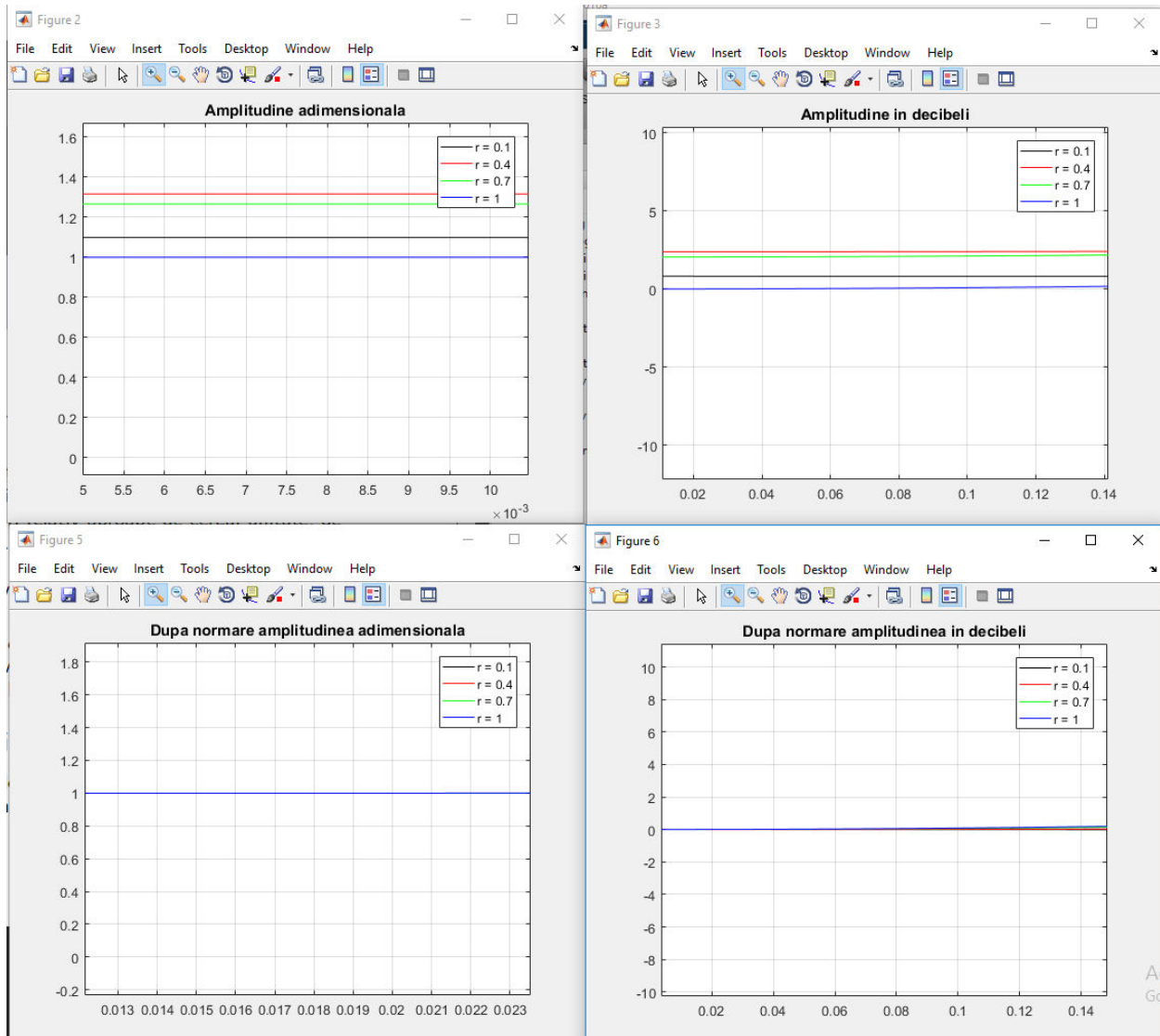
Subpunctul b

Atasez mai intai urmatoarea demonstratie:

$$\begin{aligned}
 |G(e^{j\omega})|^2 &= \frac{1}{|1 - ce^{-j\omega}|^2 \cdot |1 - \bar{c}e^{-j\omega}|^2} = \\
 &= \frac{1}{|1 - c \cos(\omega) + cj \sin(\omega)|^2 \cdot |1 - \bar{c} \cos(\omega) + \bar{c}j \sin(\omega)|^2} = \\
 &= \frac{1}{[(1 - c \cos(\omega))^2 + c^2 \sin^2(\omega)] [(1 - \bar{c} \cos(\omega))^2 + \bar{c}^2 \sin^2(\omega)]} = \\
 &\text{Observ că modulul lui } G \text{ depinde doar de } \omega \Rightarrow \\
 |G(0)| &= |G(\omega)|_{\omega=0} \\
 \Rightarrow |G(\omega)|_{\omega=0}^2 &= \frac{1}{(1-c)^2 \cdot (1-\bar{c})^2} \Rightarrow |G(0)| = \frac{1}{|1-c| \cdot |1-\bar{c}|} \\
 \Rightarrow |G(0)| &= \frac{1}{\sqrt{(1-k \cos \theta)^2 + k^2 \sin^2 \theta} \cdot \sqrt{(1-k \cos \theta)^2 + k^2 \sin^2 \theta}} \\
 \Rightarrow |G(0)| &= \frac{1}{(1-k \cos \theta)^2 + k^2 \sin^2 \theta}
 \end{aligned}$$

Am împărțit fiecare grafic la corespunzătorul $|G(0)|$ corespunzător în funcție de valorile diferite ale lui k

Împărțind fiecare grafic la corespunzătorul $|G(0)|$, obțin toate amplitudinile adimensionale în $\omega = 0$ egale cu 1, respective 0 în dB. Pentru exemplificare, am marit următoarele porțiuni din grafice:



Faptul ca toate cele 4 grafice au aceeasi amplificare initiala ma face sa observ mai usor diferentele dintre ele.

De asemenea, si valorile de maxim in $w = \text{teta}$ se modifica, deoarece intreg filtrul este impartit la aceasta valoare. Modificarile nu sunt radicale, deoarece valorile prin care am impartit sunt relative apropiate de 1, de aceea nu am mai adaugat si graficele in intregime de dupa normare, ci am insistat pe diferentele din punctul $w = 0$, asa cum s-a precizat in cerinta exercitiului

TEMA 4

Pentru aceasta tema, am ales polii si zerourile sistemului astfel incat acesta sa fie stabil si sa aiba coeficienti reali. In urma calculelor, am ajuns la urmatoarele valori ale polilor, respectiv zerourilor.

- Poli : $d1 = r1 \cdot \exp(j \cdot \text{teta1})$ si conjugatul sau si $d2 = r2 \cdot \exp(j \cdot \text{teta2})$
- Zerouri: $c1 = r3 \cdot \exp(j \cdot \text{teta3})$ si conjugatul sau

$r1 = 0.8$; $r2 = 0.95$; $r3 = 0.75$; $\text{teta1} = \pi/3$; $\text{teta2} = \pi$; $\text{teta3} = \pi/2$
Conform urmatoarei demonstratii, ajung la urmatoarele concluzii:

Conform relatiei (3.4)

$$H(z) = \frac{b_0 \prod_{q=1}^M (1 - c_q z^{-1})}{a_0 \prod_{p=1}^N (1 - d_p z^{-1})} \Rightarrow H(e^{j\omega}) = H(z) \Big|_{z=e^{j\omega}}$$

$$\Rightarrow H(e^{j\omega}) = \frac{b_0}{a_0} \cdot \frac{\prod_{q=1}^M (1 - c_q e^{-j\omega})}{\prod_{p=1}^N (1 - d_p e^{-j\omega})} \Rightarrow$$

$$|H(e^{j\omega})| = \frac{|b_0|}{|a_0|} \cdot \frac{\prod_{q=1}^M |1 - c_q e^{-j\omega}|}{\prod_{p=1}^N |1 - d_p e^{-j\omega}|} =$$

$$= \frac{|b_0|}{|a_0|} \cdot \frac{|e^{-j\omega M}|}{|e^{-j\omega N}|} \cdot \frac{\prod_{q=1}^M |e^{j\omega} - c_q|}{\prod_{p=1}^N |e^{j\omega} - d_p|}$$

$$e^{-j\omega M} = \cos(\omega M) - j \sin(\omega M) \Rightarrow |e^{-j\omega M}| = \sqrt{\cos^2 \dots + \sin^2 \dots} = 1$$

Analog $|e^{-j\omega N}|$

$$\Rightarrow |H(e^{j\omega})| = \frac{|b_0|}{|a_0|} \cdot \frac{\prod_{q=1}^M |e^{j\omega} - c_q|}{\prod_{p=1}^N |e^{j\omega} - d_p|} \rightarrow \text{amplitudinea răspunsului depinde de termenii}$$

$e^{j\omega} - c_q \rightarrow$ vectorul care unește $e^{j\omega}$ cu $c_q \Rightarrow |e^{j\omega} - c_q|$ lungimea acestui vector

$|e^{j\omega} - c_q|$, resp $|e^{j\omega} - d_p|$

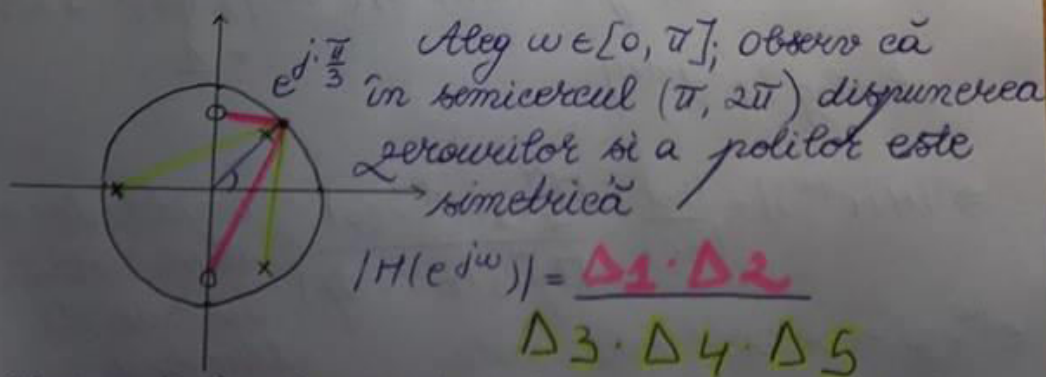
\Rightarrow Adădat, amplitudinea răspunsului în frecvență depinde de distanțele de la $e^{j\omega}$ (pt diferite valori ale lui ω) la poli respectiv zerouri sistemului

$$|H(e^{j\omega})| = \frac{\text{produsul distanțelor de la } e^{j\omega} \text{ la zerouri}}{\text{produsul distanțelor de la } e^{j\omega} \text{ la poli}}$$

Îmi aleg un sistem cu 2 zerouri și 3 poli

$$\begin{aligned} \theta_1 = \pi/3, \quad \kappa_1 = 0,8 & \Rightarrow d_1 = \kappa_1 e^{j\theta_1} & \theta_3 = \pi/2, \quad \kappa_3 = 0,75 & \Rightarrow c_1 = \theta_3 \cdot e^{j\theta_3} \\ \theta_2 = \pi, \quad \kappa_2 = 0,95 & \Rightarrow d_2 = \kappa_2 e^{j\theta_2} & & \end{aligned}$$

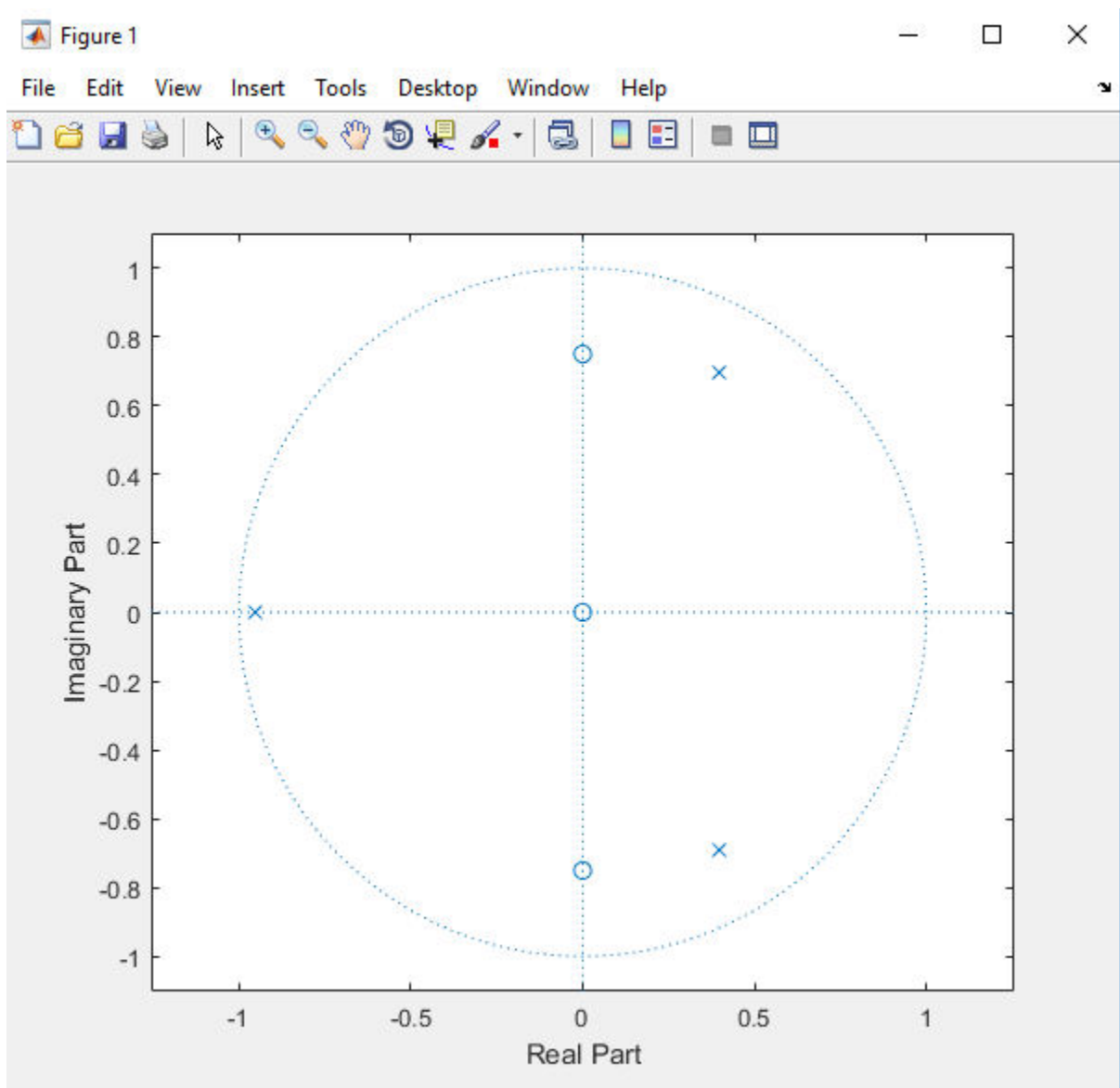
$$\Rightarrow H(z) = \frac{(1 - c_1 z^{-1})(1 - \bar{c}_1 z^{-1})}{(1 - d_1 z^{-1})(1 - \bar{d}_1 z^{-1})(1 - d_2 z^{-1})}$$

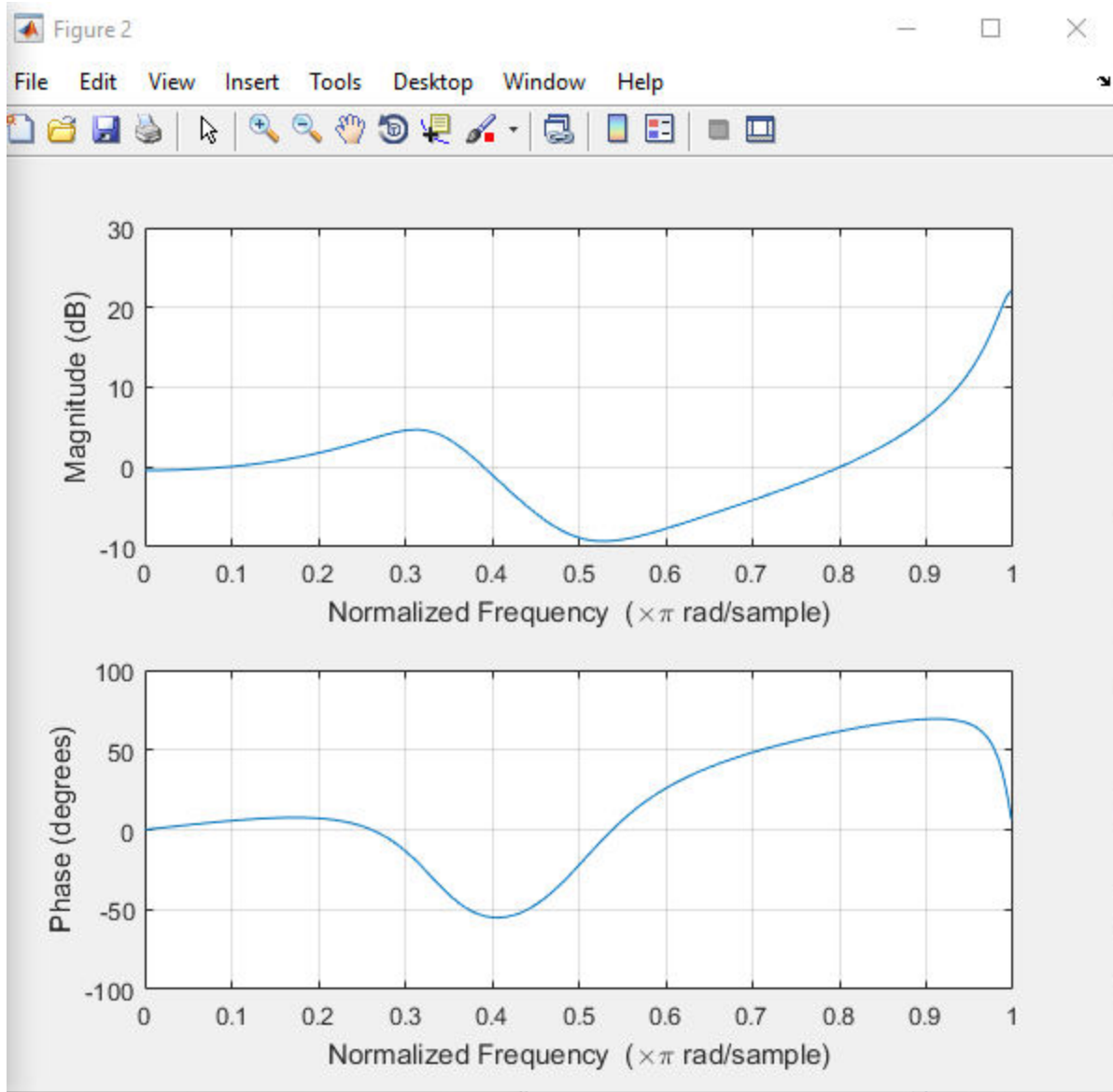


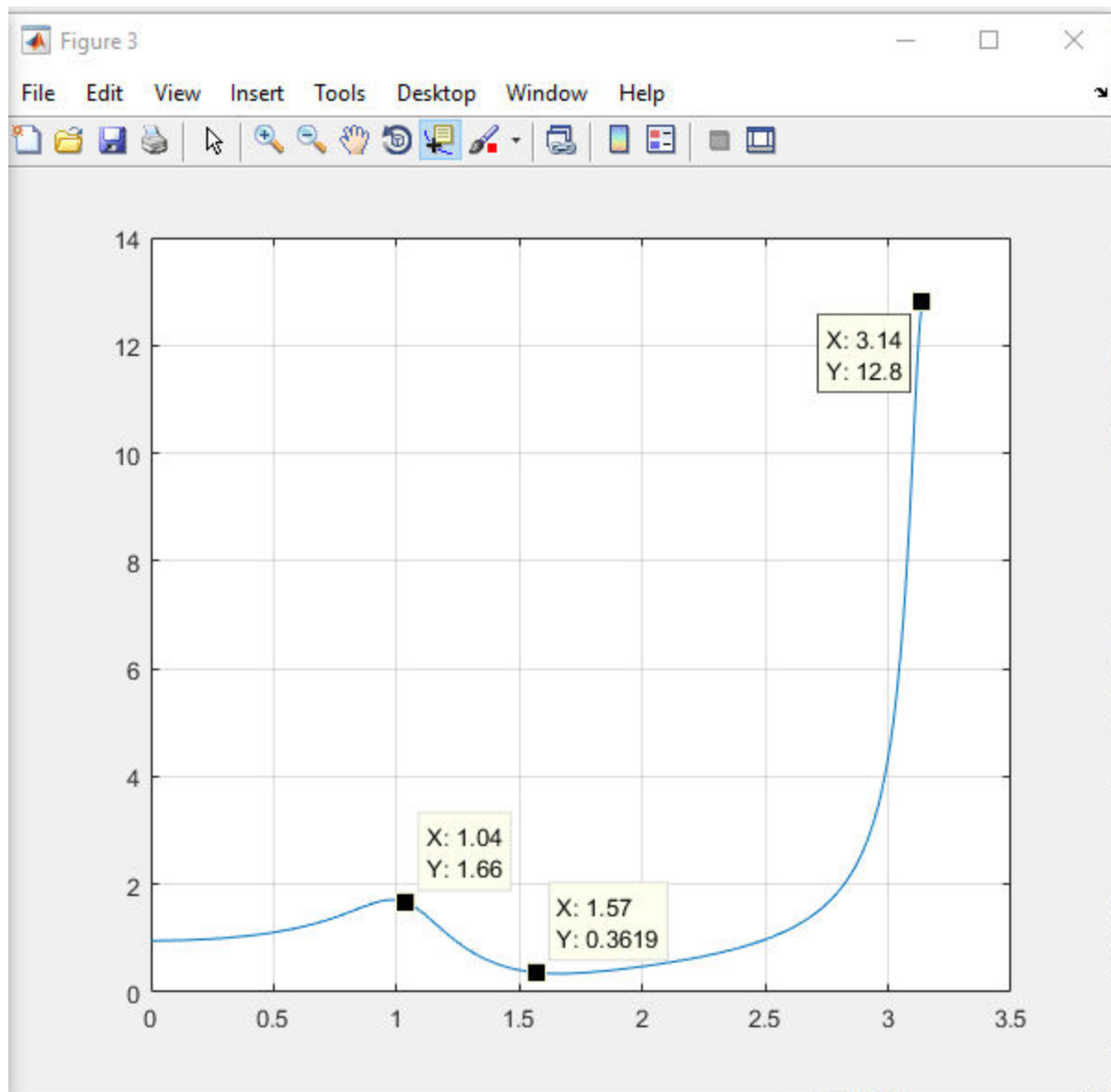
Observ că la frecvența corespunzătoare polului, anume $(\frac{\pi}{3})$, distanța de la el la cercul unitate va fi foarte mică ($\sim 0,2$); observ că zerourile nu sunt atât de apropiate de punctul de pe cercul unitate $\Rightarrow |H(e^{j\omega})|$ va avea o valoare foarte mare; pt un pol aflat pe cercul unitate distanța va fi 0 $\Rightarrow |H(e^{j\omega})| \rightarrow \infty \Rightarrow$ sistem instabil

La frecvența corespunzătoare zeroului se observă un fenomen asemănător, doar că de această dată $|H(e^{j\omega})|$ va avea o valoare mică. Un zero pe cercul unitate va produce un $|H(e^{j\omega})| = 0$

Graficele Matlab sunt:







Din graficele MATLAB se observa intr-adevar ca in frecventele corespunzatoare argumentelor polilor avem valori mari ale modului raspunsului in frecventa, iar in frecventele corespunzatoare argumentelor zerourilor, modulul are valori mici, apropiate de 0, deoarece aceste zerouri au fost alese aproape de cercul unitate.

De asemenea in cazul polului cu modulul 0.95, se observa o crestere brusca a amplitudinii, datorata unei valori foarte apropiate de 1. Mentionez ca un pol pe cercul unitate face modulul sa tinda la infinit, asadar sistemul devine instabil.

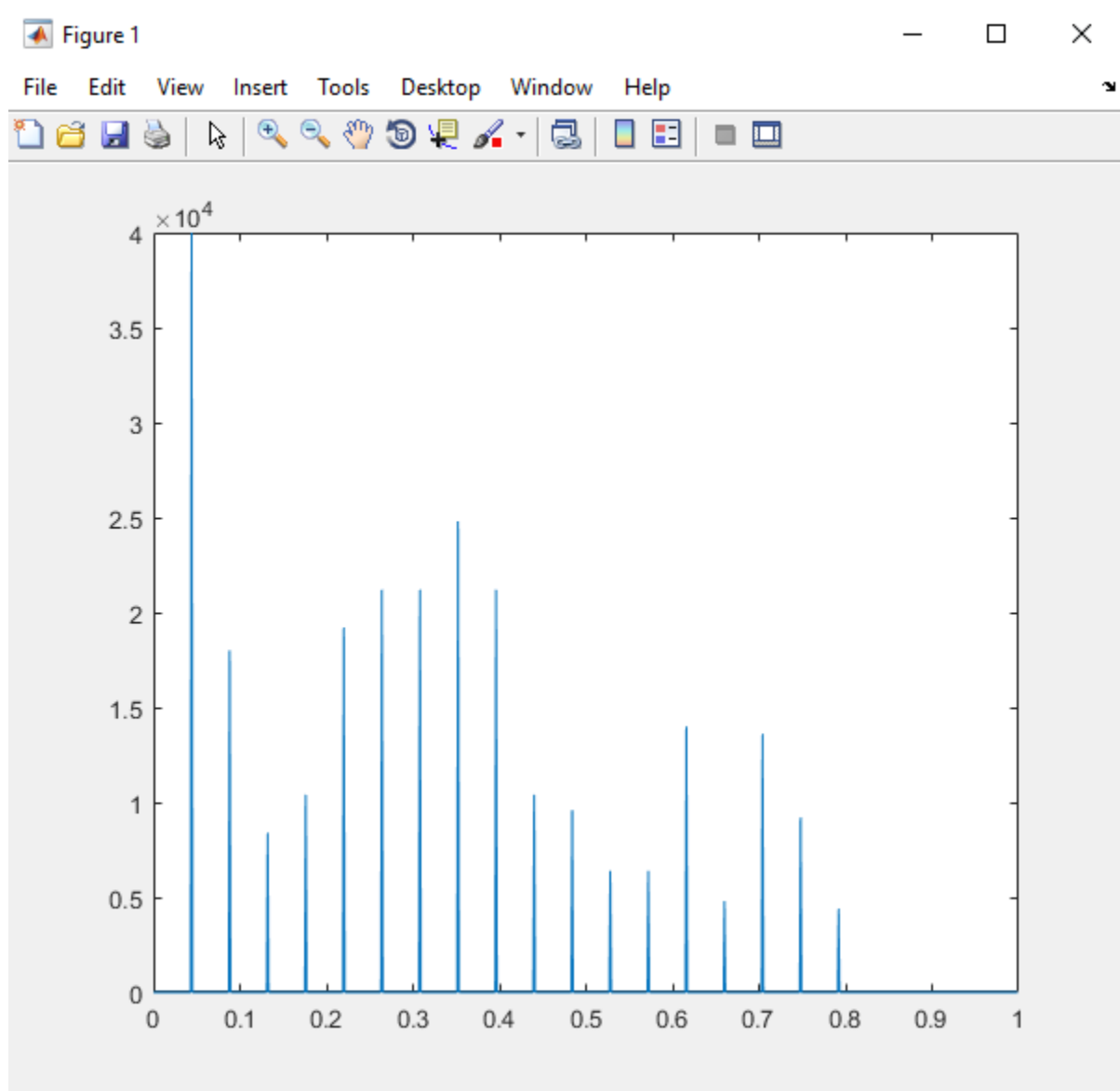
Mentionez ca $\pi/3$ este aproximativ 1.04, $\pi/2$ aprox 1.57, iar π aprox 3.14.

Figura 2 reprezinta amplitudinea in decibel si frecventa w normalizata.

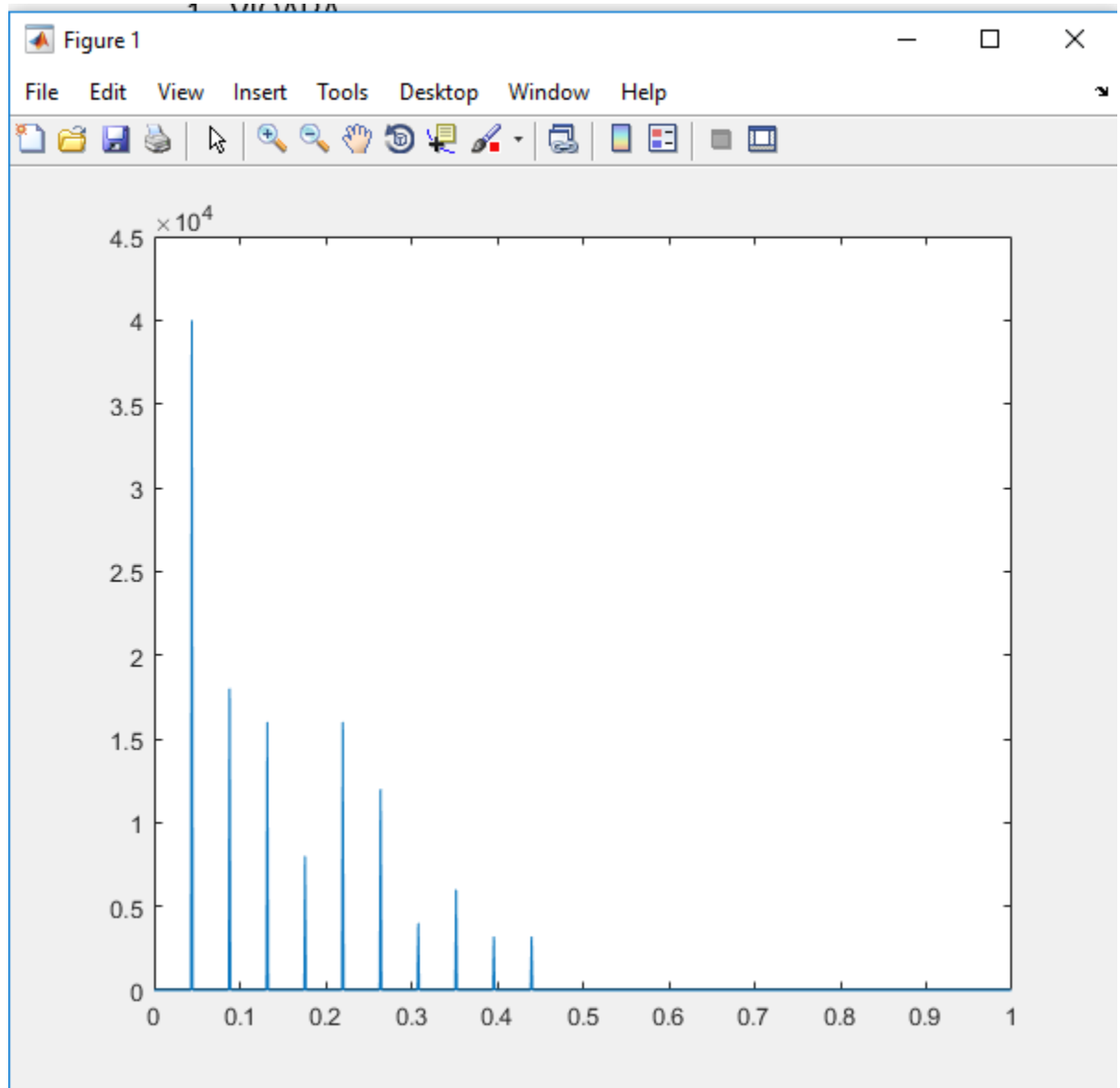
TEMA 5

Am executat lab3_muzica pentru sunetele predefinite, am obtinut urmatoarele grafice:

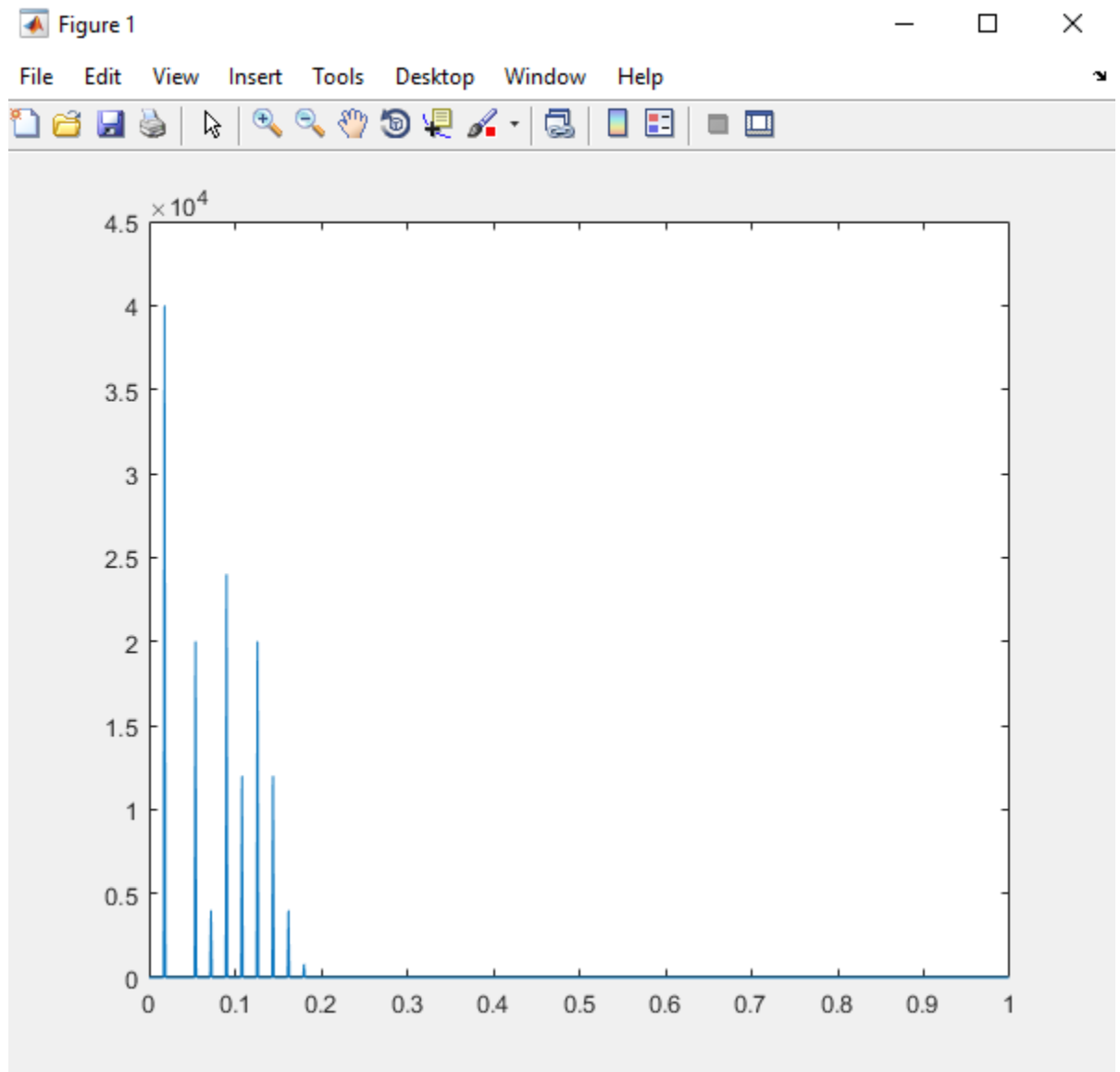
1. VIOARA



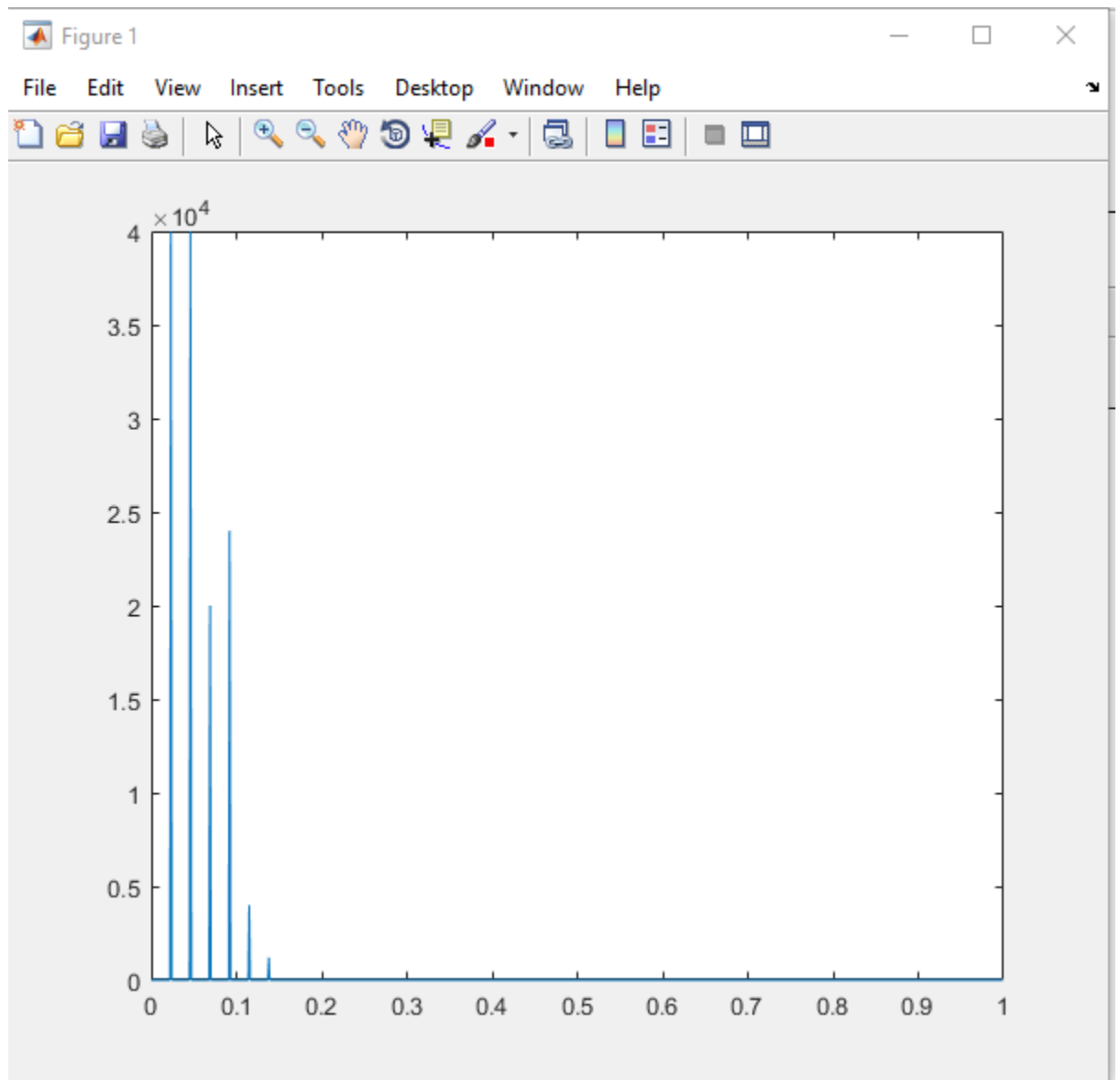
2. VIOLA



3. CLARINET

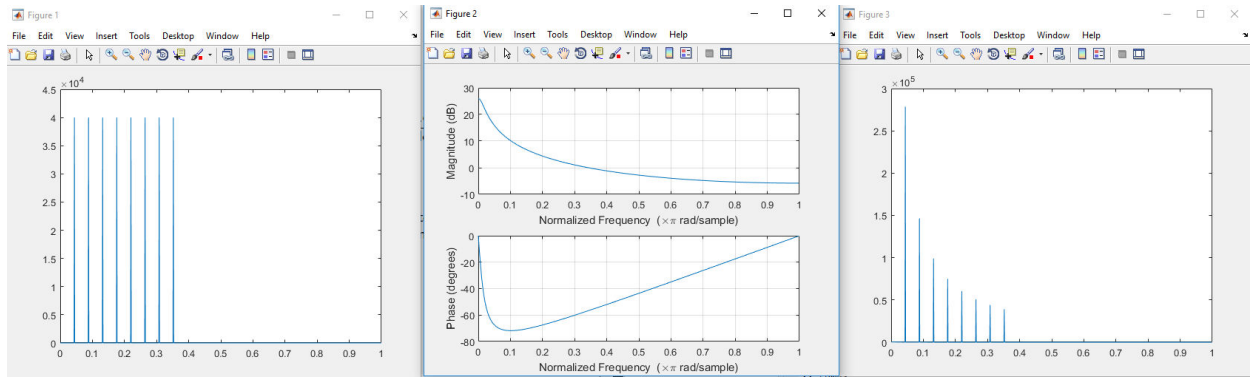


4. TUBA

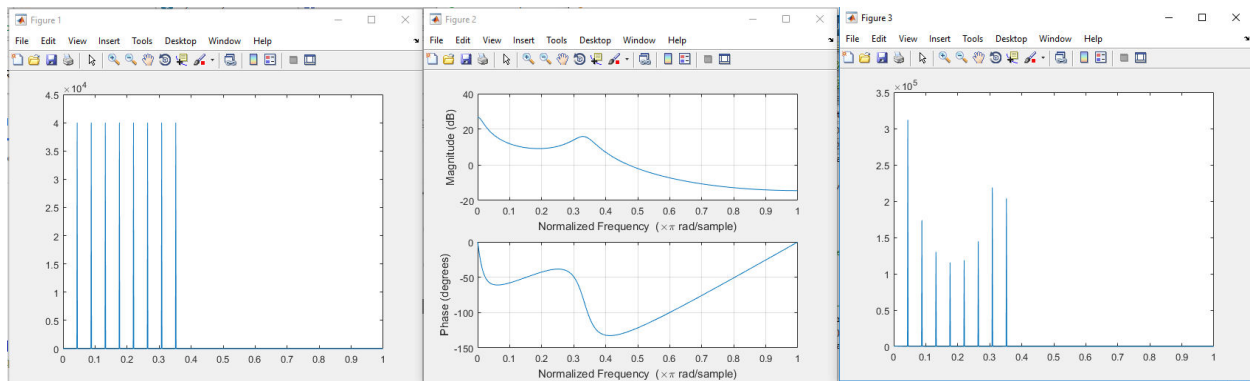


Subpunctul b

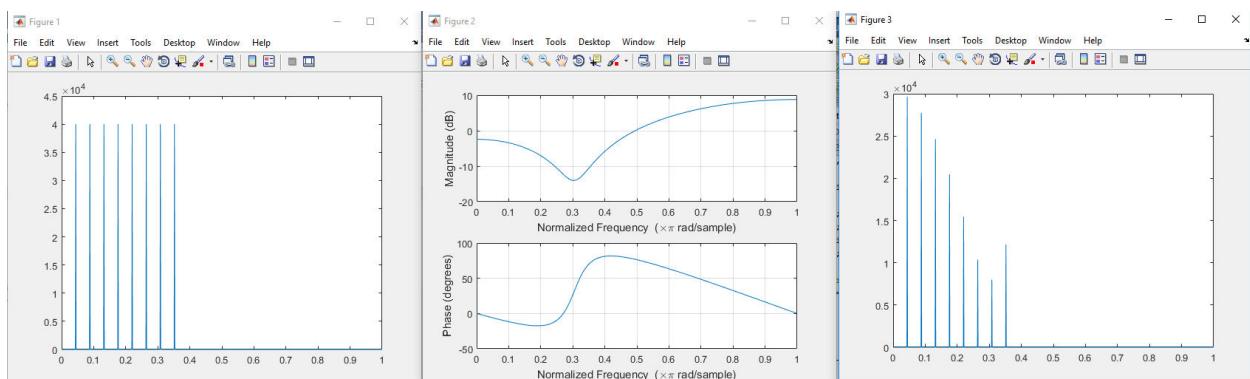
Pentru filtrul deja existent in fisier, se obtine urmatorul rezultat:



Pentru filtrul cu un pol un teta = 0 si amplitudine 0.5 si o pereche de poli conjugati in teta = $\pi/3$, de amplitudine 0.9 se obtine:



Daca de aceasta data pun zerourile de amplitudine 0.9 in teta = $\pi/3$, se obtine:



In toate exemplele prezentate, se observa ca amplitudinea semnalului initial se modifica conform filtrului obtinut. Acest lucru este firesc, stim ca un filtru asupra unui semnal ii modifica acestuia amplitudinea si faza, pulsatia ramanand neschimbata. Acest lucru este argumentat si in formula din cadrul pdfului laboratorului curent.